

Univerzita Karlova v Praze

Matematicko-fyzikální fakulta

## DIPLOMOVÁ PRÁCE



Peter Lacký

### Teoretické způsoby modelování uživatelského rozhodování

Katedra softwarového inženýrství

Vedoucí diplomové práce: Prof. RNDr. Peter Vojtáš, DrSc.

Studijní program: Informatika

2010

Na tomto mieste by som rád podčakoval vedúcemu diplomovej práce Prof. RNDr. Petrovi Vojtášovi, DrSc. a konzultantovi Mgr. Alanovi Eckhardtovi za ich rady a pripomienky, ktoré mi pomohli pri vytváraní tejto práce. Ďalej ďakujem rodičom za podporu počas celej doby štúdia, RNDr. Matúšovi Ondrejčkovi, Mgr. Petrovi Bubelínymu a Erikovi Horničákovi za pomoc a konzultáciu tejto práce a Zuzane Grešákovej za celkovú korekciu práce.

Prehlasujem, že som svoju diplomovú prácu napísal samostatne a výhradne s použitím citovaných prameňov. Súhlasím so zapožičiavaním práce.

V Prahe dňa 16. apríla 2010

Peter Lacký

# Obsah

<b>1 Úvod</b>	<b>6</b>
<b>2 Užívateľské preferencie</b>	<b>8</b>
2.1 Vplyvy na preferencie . . . . .	8
2.2 Možnosti získavania preferencií . . . . .	9
2.3 Objekty a preferencie . . . . .	10
2.4 Modely užívateľských preferencií . . . . .	12
2.4.1 Hodnotový model . . . . .	13
2.4.2 Relačný model . . . . .	14
2.5 Induktívne metódy . . . . .	15
2.5.1 Logické programovanie . . . . .	15
2.5.2 Pravdepodobnostné modely . . . . .	17
2.5.3 Rozhodovacie stromy . . . . .	19
2.5.4 Support Vector Regresion . . . . .	19
2.6 Preferencie viacerých užívateľov . . . . .	21
2.7 Zameranie práce . . . . .	22
<b>3 Existujúce modely rozhodovania</b>	<b>23</b>
3.1 Rozdelenie modelov . . . . .	23
3.2 Prehľad modelov . . . . .	24
3.3 Ekvivalencie a prevody . . . . .	26
<b>4 Experimentálne porovnanie modelov</b>	<b>28</b>
4.1 Popis experimentu . . . . .	28

4.2	Cieľ, problémy a výsledky . . . . .	30
4.3	Použité typy užívateľov . . . . .	32
4.4	Porovnávanie presnosti výsledku . . . . .	34
4.4.1	Korelačný koeficient . . . . .	34
4.4.2	Priemerná absolúttná chyba . . . . .	37
4.4.3	Porovnanie top- $k$ hodnotení . . . . .	37
4.5	Výber objektu . . . . .	38
4.6	Model rozhodovania . . . . .	40
<b>5</b>	<b>Analýza výsledkov experimentu</b>	<b>44</b>
5.1	Nastavenie aplikácie UserDesicion . . . . .	45
5.2	Porovnanie . . . . .	46
5.3	Návrhy na rozšírenie . . . . .	52
<b>6</b>	<b>Záver</b>	<b>54</b>
<b>Literatúra</b>		<b>56</b>
<b>A</b>	<b>Obsah CD</b>	<b>61</b>
<b>B</b>	<b>Užívateľská dokumentácia k programu</b>	<b>62</b>
B.1	Inštalácia . . . . .	62
B.1.1	Java . . . . .	63
B.1.2	MySQL a PostgreSQL . . . . .	63
B.1.3	Testovacie dáta . . . . .	63
B.1.4	Konfiguračný súbor . . . . .	64
B.2	Grafické užívateľské rozhranie . . . . .	65
B.2.1	Nastavenie zdroja dát . . . . .	66
B.2.2	Zdrojové dáta . . . . .	66
B.2.3	Globálne nastavenia . . . . .	68
B.2.4	Modely rozhodovania . . . . .	69
B.2.5	Zobrazovanie výsledkov . . . . .	69

Název práce: Teoretické způsoby modelování uživatelského rozhodování

Autor: Peter Lacký

Katedra (ústav): Katedra softwarového inženýrství

Vedoucí diplomové práce: Prof. RNDr. Peter Vojtáš, DrSc.

e-mail vedoucího: Peter.Vojtas@mff.cuni.cz

**Abstrakt:** Táto práca sa zaoberá problematikou modelovania užívateľských preferencií. Obsahuje rozbor rozdielnych pohľadov na užívateľské preferencie a prehľad súčasných modelov užívateľských preferencií. V práci je navrhutý model vychádzajúci z pravdepodobnostného rozdelenia, ktorý je porovnaný s modelom založeným na teórii Suppor Vector Regression. V záverc práce sú uvedené návrhy na rozšírenie jednotlivých modelov.

**Klíčová slova:** užívateľské preferencie, pravdepodobnostné modely užívateľských preferencií, pravdepodobnostné rozhodovanie

Title: Theoretical aspect of modelling of user decision

Author: Peter Lacký

Department: Department of Software Engineering

Supervisor: Prof. RNDr. Peter Vojtáš, DrSc.

Supervisor's e-mail address: Supervisor's e-mail address: Peter.Vojtas@mff.cuni.cz

**Abstract:** This work concerns the problem of modelling of users preferences. It contains different points of view on users preferences and a summary of present models of users preferences. There is suggested a model based on a probability distribution, which is compared with the model based on a theory of Suppor Vector Regression. At the end of the work, there are mentioned options, how to extend and develop particular models.

**Keywords:** user preferences, probabilistic models of users preferences, probabilistic reasoning

# Kapitola 1

## Úvod

V dnešnej dobe má každý užívateľ internetu prístup k obrovskému množstvu informácií a ich počet rýchlo narastá. Pre užívateľa je stále náročnejšie vyhľadávať informácie na základe toho, čo potrebuje, teda na základe svojich preferencií. Veľké množstvo informácií je uložených v databázach obsahujúcich rôzne objekty s rôznymi vlastnosťami. Pri výbere najvhodnejšieho objektu sa užívateľ rozhoduje práve podľa týchto vlastností.

Úlohou oblasti modelovania užívateľských preferencií je navrhnúť nástroj na reprezentáciu užívateľských preferencií, ktorý bude schopný postupného učenia sa. Ďalej bude tento nástroj schopný na základe neúplných preferencií užívateľa o objektoch, predpovedať jeho preferencie v prípadoch neznámych objektov.

Táto práca je zameraná na modelovanie preferencií nad množinou podobných objektov ako sú napríklad nootebooky, byty alebo zájazdy. Jedným z ďalších cieľov práce je zostaviť prehľad súčasných modelov užívateľských preferencií, ich rozdielne interpretácie a stručný prehľad teorií, na ktorých sú založené. Hlavnou úlohou práce je navrhnúť vlastný model reprezentujúci užívateľské preferencie. Tento model následne porovnať s už existujúcim modelom (Support Vector Regression) a rozhodnúť o jeho efektívnosti.

Kapitola 2 sa zaobrá problematikou užívateľských preferencií a rozdielnymi poľadmi na preferencie samotné. Taktiež definuje jednotlivé možnosti reprezentácie

užívateľských preferencií a bližšie popisuje ich funkčnosť. V závere sú predstavené možnosti pri práci s viacerými užívateľmi.

V kapitole 3 je zostavený stručný prehľad jednotlivých modelov reprezenujúcich užívateľské preferencie. Kapitola obsahuje tiež prehľad už dokázaných ekvivalencií a prevodov medzi jednotlivými modelmi.

V kapitole 4 je predstavený samotný experiment práce. Postupne sú prezentované jednotlivé problémy experimentu a spôsoby ich riešenia. Kapitola popisuje navrhnutý model rozhodovania a podrobne sa rozoberá jeho funkčnosť.

Kapitola 5 obsahuje výsledky experimentu, v ktorých je navrhnutý model rozhodovania porovnaný s modelom, ktorý pracuje na základe teórie "Support Vector Regresion". V závere tejto kapitoly sú postrehy a návrhy na možné rozšírenia navrhnutého modelu, taktiež návrh ako vytvoriť obecnejšie a silnejšie modely. Príloha obsahuje užívateľskú dokumentáciu k programu.

# Kapitola 2

## Užívateľské preferencie

*Užívateľskou preferenciou* sa rozumie čokoľvek, čo konkrétny užívateľ uprednostňuje, prípadne neuprednostňuje. Preferencie sú zamerané na skupiny podobných objektov s podobnými vlastnosťami (notebooky, byty). Na základe týchto informácií (preferencií) je následne možné definovať usporiadanie množiny podobných objektov a to podľa preferencií užívateľa od najpreferovanejších po najmenej preferované. Vo všeobecnosti sú však zaujímavé len najlepsie objekty. Teda na základe preferencií je možné pre množinu  $O$  objektov  $o_1, \dots, o_n$  definovať usporiadanie týchto objektov.

**Príklad:** V prípade kúpy notebooku môže, ale nemusí byť zaujímavá informácia, že užívateľ preferuje byt 2+KK. Táto práca je však zameraná len na preferencie nad objektami s rovnakými atribútmi. Ak užívateľ preferuje notebooky značky Hewlett-Packard, tak najviac preferované budú práve tieto notebooky aj pri iných, menej vyhovujúcich vlastnostiach.

### 2.1 Vplyvy na preferencie

Samotné preferencie, predstavujúce požiadavky užívateľa bez akýchkoľvek vedľajších vplyvov, sú často menené na základe vedľajších faktorov. Pri následnom definovaní preferencií užívateľom sú tieto vplyvy už zohľadnené.

**Vnútorné podmienky** sú obmedzenia závislé na osobných pohnútkach užívateľa. Typickým príkladom je finančné obmedzenie. Užívateľ preferuje určitý druh vysoko výkonného notebooku, ktorý si finančne nemôže dovoliť. Na záklate toho, je nútený zmeniť svoje preferencie. Ďalším príkladom môže byť predchádzajúca skúsenosť s určitou značkou notebooku a následne jej preferovanie respektívne odmietnutie.

**Vonkajšie podmienky** predstavujú vplyv na preferencie, ktorý nezávisí na situácii užívateľa, ale na podmienkach poskytovaných okolím. Užívateľ môže preferovať len notebook s takými vlastnosťami aké poskytuje trh.

**Časový faktor** je zmena preferencií s odstupom času. Napríklad, ak užívateľ preferoval viac palcový notebook, ale v súčasnej dobe veľa cestuje, zmení svoju preferenciu na malý a ľahký notebook.

## 2.2 Možnosti získavania preferencií

K dosiahnutiu čo najpresnejšieho výberu najlepších objektov je potrebné získavať stále viac informácií o užívateľovi a tým spresňovať jeho preferencie. Získavanie preferencií nemusí byť nutne založené na ich samotnom definovaní užívateľom. Spôsoby získavania preferencií je možné rozdeliť na:

**Priamy prístup** je najpresnejším získavaním preferencií. V tomto prístupe užívateľ špecifikuje svoje preferencie a to pomocou minimálnych a maximálnych hodnôt, prípadne definovaním usporiadania alebo preferovania, ak sa jedná o nespojité atribúty. Získanie preferencií priamym prístupom je pre užívateľa časovo najnáročnejšie, ale na druhej strane najpresnejšie. Napríklad, pri kúpe notebooku užívateľ definuje maximálnu cenu, minimálne požiadavky na veľkosť *HDD*, *RAM*, *CPU* a iné. V prípade značky môže uprednostňovať *Dell* pred *IBM* atď.

**Explicitný prístup** znamená, že užívateľ nešpecifikuje svoje preferencie, ale hodnotí určité konkrétné objekty (notebooky) ako celky. Explicitne získané preferencie

neposkytujú takú presnosť ako priamo získané preferencie, ale pre užívateľa sú časovo prístupnejšie. V prípade notebookov užívateľ ohodnotí určitý notebook hodnotou od jedna po desať (jedna - najhoršie, desať - najlepšie).

**Implicitný prístup** predstavuje zber preferencií, ktoré užívateľ poskytuje podvedome, respektíve vyplývajú z jeho činností. Tento druh preferencií je najmenej presný, ale zároveň pre užívateľa najmenej zaťažujúci. Napríklad, monitorovanie aktivít užívateľa ako sú:

- označovanie textu na stránkach,
- čas strávený na jednotlivých detailoch produktu,
- kúpa určitého notebooku cez internetový obchod

väčšinou iniciujú k zaujímavejším (preferovanejším) notebookom.

## 2.3 Objekty a preferencie

Bude zavedená notácia pre rozdielnych užívateľov  $u_1, \dots, u_k \in U$  a pre množinu objektov  $o_1, \dots, o_n \in O$ . Každý objekt má definovaných  $m$  rozdielnych hodnôt atribútov patriacich do množín  $A^1, \dots, A^m$ . Jednotlivé atribúty objektu  $o_i \in O$  budú značené ako  $a_i^1, \dots, a_i^m$ . Podľa [20] je rozlíšených niekoľo typov domén atribútov:

- *Nominálny* neobsahuje žiadne usporiadanie, väčinou sa jedná o textový atribút. Napríklad, značka notebooku reprezentovaná množinou  $\{Dell, HP, IBM\}$ .
- *Ordinalný* definuje usporiadanie nie však samotný rozdiel medzi dvoma hodnotami. Napríklad,  $\{\text{Zlý}, \text{Priemerný}, \text{Dobrý}\}$ .
- *Intervalový* – medzi dvoma hodnotami je možné určiť rozdiel, ale nie pomer. Typickým príkladom je Celsiova stupnica teploty, kde nie je možné povedať, že  $20^\circ\text{C}$  je dvakrát teplejších ako  $10^\circ\text{C}$ .

- *Pomerový* – obsahuje takzvanú absolútne (pravú) nulu, tým sa dá určiť rozdiel a aj pomer medzi dvoma hodnotami. Napríklad, Kelvinova stupnica teploty, cena, váha a výdrž batérie notebooku.

Intervalová a pomerová doména sa spoločne nazývajú *numerická doména*. Atribúty s nominálnou doménou patria medzi *diskrétnie atribúty*, atribúty s numerickou doménou zase medzi *spojité attribúty*. Ordinálna doména môže byť zaradená medzi diskrétnie atribúty, tým sa však stráca informácia o usporiadaní. Na duhej strane jej zaradenie medzi spojité atribúty vyžaduje definovať samostatný nástroj na porovnávanie, alebo jeho prekonvertovanie na číselné hodnoty. V tejto práci je ordinálna doména zaradená medzi diskrétnie atribúty.

Každý spojity atribút je možné rozdeliť na intervale, z ktorých každý bude reprezentovať jednu hodnotu novovzniknutého diskrétneho atribútu. Podľa vzniknutých intervalov sa rozlišujú dva základné typy rozdelenia:

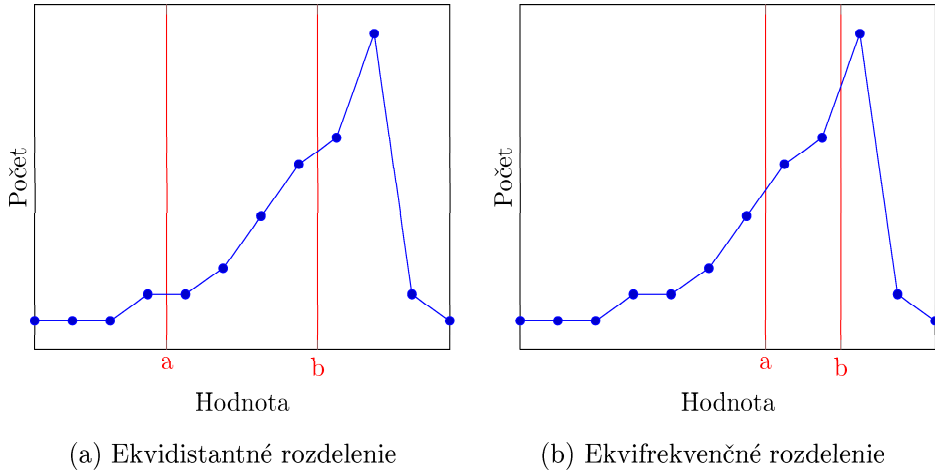
- *Ekvidistantné rozdelenie*, v ktorom je celá doména hodnôt atribútu rozdelená na rovnako veľké intervale (viď obrázok 2.1a).
- *Ekvifrekvenčné rozdelenie*, v ktorom každý z intervalov obsahuje (približne) rovnaký počet objektov (viď obrázok 2.1b).

Ak sa napríklad, za doménu hodnôt objektov zoberie interval celých čísel od 1 do 12, z ktorých má každý objekt určitý počet výskytov

$$\{1_1, 2_1, 3_1, 4_2, 5_2, 6_3, 7_5, 8_7, 9_8, 10_{12}, 11_2, 12_1\}$$

kde dolný index definuje počet výskytu danej hodnoty objektu. Celkový počet všetkých objektov je 45. Potom ekvidistančné rozdelenie na tri diskrétnie atribúty obsahuje intervale  $[1 - 4, 66]$ ,  $[4, 66 - 8, 33]$  a  $[8, 33 - 12]$ , pričom každý interval obsahuje práve 4 rozdielne hodnoty objektov. Počet objektov v prvom intervale je  $1 + 1 + 1 + 2 = 5$ , v druhom  $2 + 3 + 5 + 7 = 17$  a v treťom  $8 + 12 + 2 + 1 = 23$ . Na druhej strane ekvifrekvenčné rozdelenie na tri diskrétnie atribúty obsahuje intervale  $[1 - 7, 5]$ ,  $[7, 5 - 9, 5]$  a  $[9, 5 - 12]$ . Všetky intervale obsahujú rovnaký počet (15)

objektov ( $1 + 1 + 1 + 2 + 2 + 3 + 5, 7 + 8, 12 + 2 + 1$ ), ale počet hodnôt objektov v jednotlivých intervaloch je rozdielny (7, 2 a 3). Celý príklad je zobrazený na grafoch obrázku 2.1.



Obrázek 2.1: Rozdelenie spojitého atribútu.

Každý objekt  $o \in O$  má definovaných  $m$  hodnôt atribútov  $A^i, i = 1, \dots, m$ . Jednotlivé atribúty je možné rozdeliť na spojité a diskrétné. Bude zavedená notácia preferencie  $Pref(o_i)$  objektu  $o_i \in O$  a preferencie  $Pref(a^k)$  atribútu  $a^k \in A^k$ , kde  $u$  predstavuje konkrétneho užívateľa. Podľa toho je možné samotné preferencie rozdeliť na:

- *Lokálne preferencie* vyjadrujúce ako užívateľ preferuje jednotlivé atribúty.
- *Globálne preferencie* vyjadrujúce ako užívateľ preferuje jednotlivé objekty.

Lokálna preferencia poukazuje na to, ako sa preferuje objekt len podľa  $k$ -tého atribútu  $A^k, k = 1, \dots, m$ . V prípade definovania lokálnych preferencií objektu  $o_i$  nad atribútm  $Pref^u(a_i^1), \dots, Pref^u(a_i^m)$  je potrebné definovať spôsob, ako z týchto lokálnych preferencií vytvoriť preferenciu celého objektu  $Pref(o_i)$ .

## 2.4 Modely užívateľských preferencií

Pod pojmom *model užívateľských preferencií* sa rozumie spôsob ako definovať užívateľské preferencie. Model užívateľských preferencií musí obsahovať

- *reláciu usporiadania* nad množinou objektov  $O$ , pomocou ktorej je možné pre každé dva objekty  $o_i, o_j \in O$  určiť ich vzájomný vzťah na základe preferencií  $Pref(o_i)$  a  $Pref(o_j)$ . Teda objekt  $o_i$  je lepší ako  $o_j$  ( $Pref(o_i) > Pref(o_j)$ ), horší ( $Pref(o_i) < Pref(o_j)$ ), rovnaký ( $Pref(o_i) = Pref(o_j)$ ), prípadne ich vzájomný vzťah nie je definovaný.

#### 2.4.1 Hodnotový model

Pri tomto modele je každému objektu alebo atribútu priradená hodnota z množiny ohodnotení  $R$ , nad ktorou je definovaná relácia usporiadania. Obecne teda existuje zobrazenie  $f : V \rightarrow R$ , kde  $V$  reprezentuje množinu objektov alebo atribútov. Hodnotové modely je možné rozdeliť podľa veľkosti množiny  $R$ :

- *Dvojhodnotový model (Boolean model)*, v ktorom množina  $R$  obsahuje hodnoty 1 a 0, prípadne Ano/Nie, Páči/Nepáči, ktoré sú pre užívateľa prijateľnejšie.
- *Viac hodnotový model*, v ktorom  $R$  nadobúda väčšiu konečnú množinu hodnôt. Napríklad hodnoty od 1 do 10, kde 1 je najhoršie a 10 najlepšie, prípadne v praxi často používaný počet hviezdičiek.
- *Fuzzy model*, v ktorom je množina ohodnotení  $R$  rovná intervalu  $[0, 1]$ , kde 0 je najhoršie ohodnenie a 1 nalepsie. Každému objektu alebo atribútu je priradené reálne číslo z intervalu  $R$ .

**Agregačná funkcia** predstavuje jednu z možností, pomocou ktorej sa dá pri hodnotovom modele vypočítať globálna preferencia z lokálnych preferencií. Medzi najzákladnejšie a načastejšie používané funkcie patria:

- *Aritmetický priemer* je najobecnejším typom aggregačnej funkcie a pre navrhnutý model bol vybraný ako najvhodnejšie riešenie.

$$Pref(o_i) = \frac{Pref(a_i^1) + \dots + Pref(a_i^m)}{m}$$

- *Vážený priemer* pridáva k aritmetickému priemeru váhu jednotlivých atribútov.

$$Pref(o_i) = \frac{w^1 Pref(a_i^1) + \dots + w^m Pref(a_i^m)}{w^1 + \dots + w^m}$$

kde  $w^1, \dots, w^m$  reprezentuje váhu atribútov 1 až  $m$ .

- *Vzdialenosť od bodu 0* je ďalší typ agregačnej funkcie, ktorá môže byť reprezentovaná s váhou alebo bez váhy atribútov.

$$Pref(o_i) = \sqrt{\frac{Pref(a_i^1)^2 + \dots + Pref(a_i^m)^2}{m}}$$

$$Pref(o_i) = \sqrt{\frac{w^1 Pref(a_i^1)^2 + \dots + w^m Pref(a_i^m)^2}{w^1 + \dots + w^m}}$$

- *Minimum, Maximum* ako posledné z vybraných agregačných funkcií

$$Pref(o_i) = \max(Pref(a_i^1) + \dots + Pref(a_i^m))$$

$$Pref(o_i) = \min(Pref(a_i^1) + \dots + Pref(a_i^m))$$

## 2.4.2 Relačný model

Definuje konkrétné usporiadanie, teda samotné relácie na množine objektov  $O$ . Podľa [27] je definovaná množina relácií  $P(v_i, v_j)$ , ak  $v_i$  je preferovanejšie ako  $v_j$ . Množina objektov alebo atribútov je definovaná ako  $V$  a  $v_i, v_j \in V$ . Ďalej množina relácií  $I(v_i, v_j)$  ak  $v_i$  je rovnako preferované ako  $v_j$  a množina  $J(v_i, v_j)$  ak  $v_i$  nie je možné porovnať s  $v_j$ . Kvôli spresneniu výsledkov je dodaná množina  $Q(v_i, v_j)$  ak  $v_i$  je o trochu viac preferované ako  $v_j$ . Na príklade značky notebooku je Dell o trochu viac preferovaný ako HP. Pri určovaní globálnych preferencií z lokálnych sa najčastejšie používa tranzitívna vlastnosť. Problémom relačného modelu je určiť rozdiel medzi preferovanými a nepreferovanými objektmi (atribútmi).

K jednotlivým reláciám medzi dvoma atribútmi alebo objektami je ďalej možné pridať ohodnotenie pomocou fuzzy funkcie alebo viac-hodnotového modelu a tým vytvoriť relačno hodnotový model.

## 2.5 Induktívne metódy

Pri práci obecne sú k dispozícii samotné dátá, model a výsledky. Jednotlivé metódy je možné rozdeliť podľa toho, na zistovanie čoho sú určené:

- *Deduktívne metódy* - zistujú výsledky z modelu a dát
- *Abduktívne metódy* - zistujú dátá z modelu a výsledkov
- *Induktívne metódy* - zistujú model z dát a výsledkov

Pri pohľade na užívateľské preferencie, reprezentujú výsledky preferencie a model predstavuje model rozhodovania. Samotnú teóriu reprezentácie užívateľských preferencií je teda nutné rozšíriť o spôsob, ako z neúplných preferencií a dát modelovať užívateľove rozhodovanie a podľa neho následne riešiť predikciu užívateľských preferencií. K tomu slúžia práve induktívne metódy, ktoré z úplných dát a z informácií o (neúplných) preferenciách vytvárajú model rozhodovania.

### 2.5.1 Logické programovanie

Logické programovanie je teória, ktorá podrobne skúma logické odvodzovanie (napríklad v Prologu, ale obecnejšie). V logickom programovaní sú používané čiarky (,) namiesto symbolu (&) pre konjunkciu a obrátená šípka ( $\leftarrow$ ) namiesto implikácie.

**Logický program:** Logický program je ľubovoľná konečná množina Hornových klauzúl. (Prologovsky) program  $P$  je zoznam programových klauzúl, faktov alebo pravidiel kde:

- *Fakt:* deklaruje vždy pravdivé veci
- *Pravidlo:* deklaruje veci, ktorých pravdivosť závisí na daných podmienkach
- *Dotaz (cieľ):* užívateľ sa pýta programu, či sú veci pravdivé

Odpoveď na dotaz može byť:

- *pozitívna* – dotaz je splniteľný a uspel

- *negatívna* – dotaz je nesplniteľný a neuspel

Reprezentácia modelu rozhodovania jednoduchým logickým programom nie je úplne dostatočná.

**Induktívne logické programovanie** [22] predstavuje rozšírenie logického programovania, ktorého myšlienkou je vytvárať novú množinu pravidiel  $H$  (hypotéz). *IPL* obsahuje množiny:

- $B$  obsahujúcu známe pravidla a fakty
- $E^-$  negatívne príklady
- $E^+$  pozitívne príklady

Na základe množín  $B$  a  $E^+$  vytvorí novú množinu hypotéz  $H$ , ktorá súčasne nesmie kolidovať s množinou  $E^-$ .

**Fuzzy logické programovanie** je založené na teórii *fuzzy* (viac–hodnotovej) *logiky* [46][47], ktorá narozdiel od dvoj–hodnotovej logiky nepracuje len s množinou pravdivostných hodnôt  $\{true, false\}$ , ale z fuzzy množinou definovanou intervalom  $[0, 1]$ , reprezentujúcou stupeň pravdivosti. Vo fuzzy logike sú definované *t-norm* a *t-conorm*, ktoré istou formou nahradzajú operátor konjukcie (*t-norm*) a (*t-conorm*) disjunkcie z dvoj–hodnotovej logiky. Funkcia  $T : [0, 1]^2 \rightarrow [0, 1]$  je *t-norm* (*triangularna norma*), ak platia nasledujúce štyri podmienky:

- Ekvivalentná podmienka  $T(1, x) = x$  pre  $\forall x \in [0, 1]$
- $T$  je komutatívne  $T(x, y) = T(y, x)$  pre  $\forall x, y \in [0, 1]$
- $T$  je neklesajúce v oboch prvkoch  $T(x, y) \leq T(u, v)$  pre všetky  $0 \leq x \leq u \leq 1$  a  $0 \leq y \leq v \leq 1$
- $T$  je asociatívne  $T(x, T(y, z)) = T(T(x, y), z)$  pre  $\forall x, y, z \in [0, 1]$

Obdobne potom funkcia  $S : [0, 1]^2 \rightarrow [0, 1]$  je *t-conorm* (tiež *s-norm*), ak platia nasledujúce štyri podmienky:

- Ekvivalentná podmienka  $S(0, x) = x$  pre  $\forall x \in [0, 1]$
- $S$  je komutatívne  $S(x, y) = S(y, x)$  pre  $\forall x, y \in [0, 1]$
- $S$  je neklesajúce v oboch argumentoch  $S(x, y) \leq S(u, v)$  pre všetky  $0 \leq x \leq u \leq 1$  a  $0 \leq y \leq v \leq 1$
- $S$  je asociatívne  $S(x, S(y, z)) = S(S(x, y), z)$  pre  $\forall x, y, z \in [0, 1]$

Tabuľka 2.1 ukazuje príklady t–norm a t–conorm, ktoré splňajú ich vlastnosti.

Názov	t-norm	t-conorm
Zadeh	$\min(x, y)$	$\max(x, y)$
pravdepodobnostný	$x * y$	$x + y - xy$
Lukasiewicz	$\max(x + y - 1, 0)$	$\min(x + y, 1)$
drastický	$x$ ak $y = 1$ $y$ ak $x = 1$ inak 0	$x$ ak $y = 0$ $y$ ak $x = 0$ inak 1

Tabuľka 2.1: Príklady t norm a t conorm.

Vo *FLP* [43][34] je jednotlivým faktom a pravidlám logického programu priradená fuzzy hodnota z intervalu  $[0, 1]$  reprezentujúca stupeň pravdivosti logických formúl, ktorý sa dopočítava práve na základe t–norm a t–conorm. Notácia fuzzy logiky bola prevzatá z [27].

### 2.5.2 Pravdepodobnostné modely

Nech  $(\Omega, \mathcal{A})$  je merateľný priestor. Prvky množiny  $\Omega$  sú nazývané *elementárne javy* a sú značené ako  $\omega$ , prvky  $\sigma$ –algebry  $\mathcal{A}$  budú nazývané *javy* a značené veľkým písme nom zo začiatku abecedy. *Pravdepodobnosť*  $P$  je definovaná ako miera na  $\mathcal{A}$  s vlastnosťou  $P(\Omega) = 1$ , to znamená  $P$  je množinová funkcia na  $\mathcal{A}$  s vlastnosťami:

- $P(A) \geq 0$ ,  $A \in \mathcal{A}$
- $P(\Omega) = 1$ ,  $P(\emptyset) = 0$

- $P(\bigcup_{n=1}^{\infty} A_n) = \sum_{n=1}^{\infty} P(A_n)$ , ak je  $\{A_n\}$  postupnosť po dvoch disjunktných javoch

Nech  $A, B \in \mathcal{A}$  a  $P(B) > 0$  potom *podmienná pravdepodobnosť* javu  $A$  za podmienky  $B$  je definovaná vzťahom

$$P(A|B) = \frac{P(A \cap B)}{P(B)}$$

Bayesova veta teórie pravdepodobnosti udává, ako podmienená pravdepodobnosť nejakého javu súvisí s opačne podmienenou pravdepodobnosťou. Pre dva náhodné javy  $A$  a  $B$  s pravdepodobnosťami  $P(A)$  a  $P(B)$  a predpokladu, že  $P(B) > 0$  platí

$$P(A|B) = \frac{P(B|A)P(A)}{P(B)}$$

kde  $P(A|B)$  je podmienená pravdepodobnosť javu  $A$  za predpokladu, že nastal jav  $B$ , a naopak  $P(B|A)$  je pravdepodobnosť javu  $B$  podmienená výskytom javu  $A$ . Javy  $A, B$  sa nazývajú *nezávislé javy* ak  $P(A \cap B) = P(A)P(B)$ , v opačnom prípade sú to *závislé javy*.

**Bayesové siete** Nech  $V = \{v_1, \dots, v_n\}$ ,  $n > 1$  je množina premenných. *Bayesová sieť*  $B$  nad množinou premenných  $V$  je dvojica  $(B_G, B_P)$ , kde  $B_G$  je neorientovaný acyklický graf (DAG)<sup>1</sup> nad množinou premenných  $V$  a  $B_P$  je množina pravdepodobnostných tabuliek  $B_P = \{P(v|Parent(v)|v \in V)\}$ , kde  $Parent(v)$  je množina rodičov vrcholu  $v$  v štruktúre  $B_G$ . Bayesová sieť reprezentuje pravdepodobnostné rozdelenie  $P(V) = \prod_{v \in V} P(v|Parent(v))$ .

**Markovové siete** (tiež Markovové nahodné polia)<sup>2</sup> je teória pre združené rozdelenie množiny premenných  $X = (X_1, X_2, \dots, X) \in \mathbf{X}$ . Je zložená z neorientovaného grafu  $G$  a množiny potencionálnych funkcií  $\varphi_k$ . Graf obsahuje vrcholy pre každú premennú a celý model grafu má potencionálnu funkciu pre každú kliku v grafе. Potencionálna funkcia je nezáporná reálna funkcia stavov odpovedajúcej kliky. Združené

---

<sup>1</sup>Directed Acyclic Graph

<sup>2</sup>Markov Random Fields

pravdepodobnostné rozdelenie reprezentované Markovovou sieťou je dané

$$P(X = x) = \frac{1}{Z} \prod_k \varphi_k(x_{\{k\}}) \quad (2.1)$$

kde  $x_{\{k\}}$  je stav  $k$ -tej kliky (stav premenných obsiahnutých v klike) a  $Z$  (tiež rozdeľovacia funkcia alebo partition function) je daná ako  $Z = \sum_{x \in X} \prod_k \varphi_k(x_{\{k\}})$ . Markovove siete sú často bežne reprezentované ako log-lineárne modely, s každou potenciálnou funkciou kliky, nahradenou exponentom vážených súm vlastností stavov.

$$P(X = x) = \frac{1}{Z} \left( \sum_j w_j f_j(x) \right) \quad (2.2)$$

Vlastnosťou môže byť každá reálna funkcia stavov. Pre jednoduchosť je možné predstaviť si túto vlastnosť ako binárnu  $f \in \{0, 1\}$ . Vo väčšine priamych prekladov z potenciálnej funkcie jedna vlastnosť korešponduje pre každý možný stav  $x_{\{k\}}$  každej kliky, s váhou  $\log(\varphi_k x_{\{k\}})$ . Reprezentácia Markovovej siete je exponenciálna v závislosti na veľkosti kliky. V Markovovej sieti je Markov blanket nejakého vrcholu  $A$  množina všetkých jeho susedov.

### 2.5.3 Rozhodovacie stromy

Rozhodovacie stromy patria medzi veľmi dobre prepracovanú teóriu. Sú reprezentované orientovaným stromom s ohodnotením v listoch a s rozhodovacími pravidlami v uzloch. Indukcia nad rozhodovacím stromom je ukázaná v [33]. Rozhodovacie stromy rozšírené na fuzzy rozhodovacie stromy je možné nájsť v [2].

### 2.5.4 Support Vector Regresion

Bude predpokladaná existencia trénovacích dát  $\{(x_1, y_1), \dots, (x_n, y_n)\} \subset X \times R$ , kde  $X$  je priestor vstupných vzorov. Ďalej bude predpokladané, že je zadané  $\epsilon > 0$  (chyba, ktorá je v tolerancii). Cieľom SV-algoritmu je nájsť funkciu  $f(x)$ , ktorá má nanajvýš  $\epsilon$ -ovú odchylku od skutočných hodnôt  $y_i$  pre všetky trénovacie dátá a zároveň je čo najviac "plochá".

Najjednoduchším prípadom je považovať funkciu  $f$  za lineárnu funkciu. To znamená, že môže byť zapísaná ako

$$f(x) = \langle w, x \rangle + b \quad x \in X, b \in R,$$

kde  $\langle \cdot, \cdot \rangle$  označuje skalárny súčin. Plochost' v tomto prípade znamená nájsť  $w$  tak, aby norma  $\|w\|^2 = \langle w, w \rangle$  bola čo najmenšia. Tento problém sa dá prepísať ako konvexný optimalizačný problém v tvare:

$$\begin{aligned} & \text{minimalizuj} \quad \frac{1}{2} \|w\|^2 \\ & \text{za podmienky} \quad \begin{cases} y_i - \langle w, x_i \rangle - b \leq \epsilon \\ \langle w, x_i \rangle + b - y_i \leq \epsilon \end{cases} \end{aligned}$$

Problém však je, že nie vždy takáto funkcia existuje. Preto sa podmienky na chyby zoslabujú a zavádzajú sa voľné premenné  $\xi_i$  a  $\xi_i^*$ . Úloha potom je:

$$\begin{aligned} & \text{minimalizuj} \quad \frac{1}{2} \|w\|^2 + C \sum_{i=1}^n (\xi_i + \xi_i^*) \\ & \text{za podmienky} \quad \begin{cases} y_i - \langle w, x_i \rangle - b \leq \epsilon + \xi_i \\ \langle w, x_i \rangle + b - y_i \leq \epsilon + \xi_i^* \\ \xi_i, \xi_i^* \geq 0, \end{cases} \end{aligned}$$

kde  $C \geq 0$ . Tento minimalizačný problém sa rieši cez duálnu úlohu s pomocou Lagrangcových multiplikátorov. Táto duálna úloha sa dá zapísat v tvare:

$$\begin{aligned} & \text{maximalizuj} \quad -\frac{1}{2} \sum_{i,j=1}^n (\alpha_i - \alpha_i^*)(\alpha_j - \alpha_j^*) \langle x_i, x_j \rangle - \epsilon \sum_{i=1}^n (\alpha_i + \alpha_i^*) + \sum_{i=1}^n y_i (\alpha_i - \alpha_i^*) \\ & \text{za podmienky} \quad \sum_{i=1}^n (\alpha_i - \alpha_i^*) = 0 \quad a \quad \alpha_i, \alpha_i^* \in [0, C], \end{aligned}$$

kde  $\alpha_i, \alpha_i^*$  sú Lagrangeové multiplikátory. Navyše platí:  $w = \sum_{i=1}^n (\alpha_i - \alpha_i^*) x_i$  a  $f(x) = \sum_{i=1}^n (\alpha_i - \alpha_i^*) \langle x_i, x \rangle + b$ . Z rovnice pre  $f$  je zrejmé, že pre jej výpočet nie je potrebné počítať  $w$ . Parameter  $b$  môže byť spočítaný, napríklad, s využitím Karush-Kuhn-Tuckerových podmienok.

Zatiaľ sa uvažovalo iba nad lineárnym SV-algoritmom. Rozšírenie na nelineárny prípad sa dá urobiť, napríklad, predspracovaním trénovacích vzorov pomocou zobrazenia  $\Phi : X \rightarrow F$ , kde  $F$  je priestor nových vzorov a na tieto predspracované vzory

použiť lineárny  $SV$ -algoritmus.  $SV$ -algoritmus závisí iba na skalárnom súčine medzi vzormi  $x_i$ . Preto stačí vedieť iba  $k(x, x') = \langle \Phi(x), \Phi(x') \rangle$  namiesto explicitného vyjadrenia  $\Phi$ , kde  $k$  je vhodné jadro. To umožnuje prepísanie  $SV$  optimalizačného problém následujúco:

$$\begin{aligned} \text{maximalizuj } & -\frac{1}{2} \sum_{i,j=1}^n (\alpha_i - \alpha_i^*)(\alpha_j - \alpha_j^*)k(x_i, x_j) - \epsilon \sum_{i=1}^n (\alpha_i + \alpha_i^*) + \sum_{i=1}^n y_i(\alpha_i - \alpha_i^*) \\ \text{za podmienky } & \sum_{i=1}^n (\alpha_i - \alpha_i^*) = 0 \quad \alpha_i, \alpha_i^* \in [0, C], \end{aligned}$$

Funkcia  $f$  a  $w$  sa dajú zapísť ako:  $w = \sum_{i=1}^n (\alpha_i - \alpha_i^*)\Phi(x_i)$  a  $f(x) = \sum_{i=1}^n (\alpha_i - \alpha_i^*)k(x_i, x) + b$ . Viac o teórii Support Vector Regression je možné nájsť v [39] a [38]

## 2.6 Preferencie viacerých užívateľov

Samotné preferencie sú odlišné pre rozdielnych užívateľov, preto je možné jednotlivé modely rozhodovania rozdeliť podľa toho, kolko rozdielnych užívateľov sú schopné spracovať.

- **Jeden užívateľ:** tieto modely pracujú s jedným konkrétnym užívateľom. Teda pre každého užívateľa vytvoria samostatnú inštanciu modelu rozhodovania, ktorá nevyužíva informácie o preferenciách iných užívateľov, respektíve nevyužíva žiadne už známe informácie.
- **Viac užívateľov:** tieto modely rozlišujú rozdielnych užívateľov a pri rozhodovaní o preferenciách využívajú informácie o preferenciách iných (podobných alebo absolútne rozdielnych) užívateľov.

Rozhodovacie modely môžu k spresneniu výsledkov využívať aj informácie (ak sú poskytnuté) o samotnom užívateľovi (pohlavie, vek, zamestnanie, záľuby, finančná situácia a iné), podľa ktorých je možné predpokladať, alebo postupom času vypozorovať podobnosti medzi jednotlivými vlastnosťami užívateľov a tým vytvoriť *užívateľský profil*. K spresňovaniu profilu budú prispievať všetci užívatelia patriaci do daného

profilu. Podobnosť medzi viacerými užívateľmi je sledovaná na preferenciách jednotlivých užívateľov.

Jednou z možností nachádzania podobnosti medzi preferenciami dvoch užívateľov, respektíve podobnosti preferencií užívateľa s profilom užívateľov, predstavuje kolaboratívne filtrovanie. Základným algoritmom kolaboratívného filtrovania je  $K$ -NN algoritmus, ktorý hľadá  $K$  najbližších susedov. Teda pre užívateľa  $v$  nachádza užívateľov  $u_1, \dots, u_K$  s najmenšou vzdialenosťou. Vzdialosť medzi dvoma užívateľmi  $u$  a  $v$  je možné definovať ako:

$$s(u, v) = \sqrt{\sum_{i=1}^n (Pref^u(o_i) - Pref^v(o_i))^2}$$

kde  $n$  je počet objektov. Preferencie objektu  $o$  užívateľom  $v$  je možné vypočítať z  $K$  najbližších susedov, napr. ako priemer ich preferencií  $Pref^v(o) = \sum_{i=1}^K Pref^{u_i}(o)$ .

## 2.7 Zameranie práce

Táto práca je zameraná na explicitne získavané preferencie o užívateľovi, pri ktorých sú použité globálne preferencie. Ako model preferencií bol zvolený hodnotový model s hodnotami od 1 do 10, kde 1 je najhoršie ohodnenie a 10 najlepšie. Navrhnutý model rozhodovania je založený na teórii pravdepodobnosti. Tento model je porovnaný s modelom vychádzajúcim z teórie Support Vector Regression vid. 2.5.4.

# Kapitola 3

## Existujúce modely rozhodovania

### 3.1 Rozdelenie modelov

Vo všeobecnosti existujú dva prístupy (pohľady) na logické programy *modelový* (*grafický*) a *dôkazový* (*výpočtový*).

**Modelový pohľad** obsahuje takzvané *Herbrandovo univerzum* (respektíve *báza*), zložené zo všetkých skutočností, ktoré je možné konštruovať z predikátových, konštantných a funkčných symbolov programu. Herbrandovo univerzum (v istom zmysle) určuje množinu všetkých možných situácií vo svete, popisovaných programom. Priradenie pravdivostnej hodnoty k prvkom Herbrandovej báze sa niekedy tiež nazýva *Herbrandova interpretácia*. Logický program, založený na modelovom prístupe, obmedzuje množinu všetkých situácií len na tie, ktoré sú možné. Najdôležitejšou vecou v modelovom prístupe je teda to, že špecifikuje, ktorá časť vo svete je možná vzhľadom k použitej logickej teórii.

**Výpočtový pohľad** predstavuje iný spôsob pohľadu na logické programy a pochádza z dôkazovej teórie. Z tejto perspektívy môže byť logický program použitý k poskytnutiu informácie o tom, že niektoré fakty, pravidlá a dotazy sú logicky spojené s programom. Ako príklad môže byť zobrazená funkcia komplátora k určeniu syntaktickej správnosti jednotlivých častí programu, prípadne podobná funkcia bez-

kontextových gramatík. V týchto situáciách je dôležitá pravdivosť zadaného vstupu, takže odpovedou je pravdivostná hodnota. Dôkaz je typicky konštruovaný pomocou *SLD* rezolúcie. Dôležité je tiež uvedomiť si súvislosť medzi *SLD* deriváciou a tradičnou deriváciou, používanou v bez-kontextových gramatikách. V oboch prípadoch však existuje mapovanie jedna k jednej medzi týmito dvoma pohľadmi na gramatiky.

## 3.2 Prehľad modelov

Existujú dva spôsoby, ako sa pozerať na logický program ako taký. Prvý pohľad, je modelový (grafický) a zavisí na tom, čo z reálneho sveta je možné interpretovať tak, aby to uspokojilo potreby programu. Patria sem modely založené na teórii Bayesových a Markovových sietí. Druhý pohľad je dôkazový. Ten určuje, čo je možné dokázať vzhladom na daný cieľ. Samozrejme, oba z týchto pohľadov sú úzko spojené, pretože logický program má rezolučné vyvrátenie, len v prípade, že patrí do Herbrandovho modelu programu.

Jednotlivé modely je možné rozdeliť podľa teórií, z ktorých vznikli a z ktorých vychádzajú. Medzi modely nobsahujúce logické programovanie je možné zaradiť dvojhodnotový model. K ostatným druhom modelov je nutné povedať, že vznikli kombináciou (minimálne) dvoch teórií, z ktorých jednu poväčšine predstavuje logické programovanie, respektíve predikátovú logiku prvého rádu. K modelom založeným na grafickom pohľade patria modely vychádzajúce z kombinácie Bayesových sietí a logického programovania, obecne nazývané *Knowledge-Based Model Construction (KBMC)* [45]. K najrozšírenejším predstaviteľom tejto skupiny patrí Bayesovo Logické Programovanie (*BLP*) [16][17][18], ale tiež Probabilistic Logic Programs (*PLP*) [25][26].

Z trochu iného uhlu pohľadu vychádza *Probabilistic Relational Model (PRM)* [7][8][9][10], ktorý je kombináciou frame-based systémov a Bayesových sietí. Tento model bol rozšírený o *Entity–Relationship model (ER–model)*, čím vznikol istý jazyk pre pravdepodobnostný *ER–model* [13]. Je nutné poznamenať, že *ER–model* je

vlastne špeciálnym prípadom logiky, teda pravdepodobnostný *ER*-model pripúšťa logické výrazy ako obmedzenic pre konštrukciu základnej siete, ale pravdivostná hodnota týchto výrazov musí byť známa vopred.

Ďalším príkladom sú modely vychádzajúce z kombinácie Markovových sietí a predikátovej logiky prvého rádu, kde patria *Markové Logické Siete (MLN)* [6] [5]. Obdobne z Markovových sietí vychádza aj model *Relational Markov Networks (RMN)* [41][42], ktorý používa databázové dotazy ako šablóny pre kliku a má funkciu pre každý stav kliky. *MLN* zovšeobecňujú *RMN* tým, že poskytujú silnejší jazyk pre výstavbu funkcií (logika prvého rádu namiesto konjunktívnych dotazov), a umožňujú neistotu vo vzťahoch medzi atribútmi (nie len medzi atribútmi jednotlivých objektov). *RMN* sú exponenciálne vo veľkosti kliky, zatiaľ čo *MLN* umožňuje užívateľovi zistiť počet prvkov, aby bola možná mierka do omnoho väčšej veľkosti kliky. Ďalej sem patrí *Relational Dependency Network (RDN)* [24], v ktorých každý uzol pravdepodobnostne podmienený Markovovým blanketom, je daný rozhodovacím stromom. Každá *RDN* korešponduje s *MLN* a naopak, danú pevnou distribúciou Gibbs sampler operating [12].

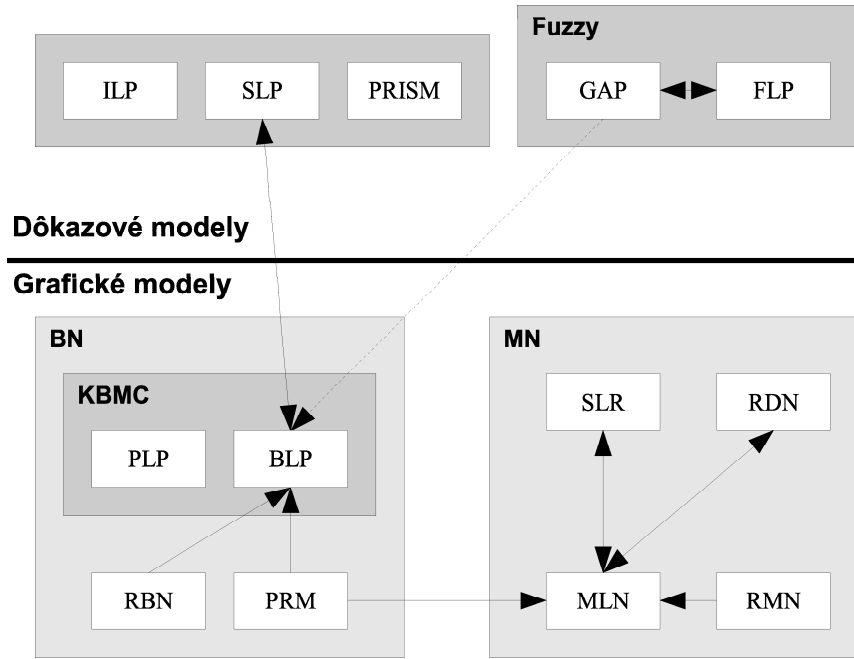
K modelom založeným na dôkazovej teórii patria modely vychádzajúce z kombinácie logického programovania a log-lineárneho modelu. *Stochastické Logické Programy (SLP)* [23] [4] predstavujú rozšírenie stochastických bez-kontextových gramatík. V zásade podobné modely sú *Independent Choice Logic (ICL)* [28][29] a taktiež *PRogramming In Statistical Modeling (PRISM)* [36][37]. Do tejto skupiny je ďalej možné zaradiť *Probabilistic Constraint Logic Programming (P – CLP)* [35].

Samostatnú skupinu predstavuje *Fuzzy Logické Programovanie (FLP)* [43][34], vychádzajúce z rozšírenia logického programovania o fuzzy (viac-hodnotovú) logiku. Podobne ako *SLP* a *PRISM*, patrí do skupiny modelov založených na dôkazovej teórii. Medzi modely vychádzajúce z fuzzy logiky patria aj zovšeobecnené anotované programy ako *Generalized Annotated Programs (GAP)* [14][19]. *GAP* pozostáva z Hornových klauzú logického programovania zložených len z anotovaných atómov (atómov, ktoré majú naviac priradenú hodnotu z intervale [0, 1]).

Iný pohľad na preferencie je ukázaný v [40], ktorý vychádza zo štatistiky. Na základe užívateľom volených objektov, vytvára vektor vlastnosti, ktoré majú zvolené objekty podobné. Následne ponúka ďalšie objekty obsahujúce len vektor týchto vlastností. Ako príklad môže byť uvedené vyhľadávanie v dokumentoch, kde vlastnosti sú reprezentované slovami (alebo kombináciou slov) a objekty sú jednotlivé dokumenty.

### 3.3 Ekvivalencie a prevody

Medzi jednotlivými modelmi už existujú dokázané ekvivalencie (prevody), či už na základe vhodnej substitúcie alebo zmenou interpretácie. Ekvivalencia medzi *SLP* a *BLP* bola ukázaná v [30]. V článku [21] bola predstavená ekvivalencia medzi modelom *FLP* a *GAP*. Ďalej v práci [44] bol ukázaný spôsob transformácie z *GAP* do *BLP*. Hlavnou myšlienkou je, že každý anotovaný atóm (atóm, ktorý má naviac



Obrázek 3.1: Prehľad porovnaní modelov.

priradenú hodnotu z intervale  $[0, 1]$ ) bude braný ako jeden predikát. Teda z pohľadu *BLP*, každý anotovaný atóm predstavuje jeden vrchol Bayesovej siete popisujúcej *BLP*. Problémom však ostáva, že interval  $[0, 1]$  je nekonečný, takže z jedného atómu

z rozdielnou anotáciou môže vzniknúť nekonečne veľa rozdielnych vrcholov. Riešením je rozdelenie intervalu na niekoľko menších časti (napríklad interval  $[0.25, 0.75]$ ) s tým, že všetky rovnaké atómy s anotáciou patriacou do toho istého intervalu by reprezentovali jeden vrchol. Aj keď existuje formálny prevod z *GAP* (a teda aj *FLP*) do *BLP* pri prevode sa môže stratíť veľká časť informácií, ktorú *GAP* obsahuje. Podrobnejší prehľad porovnaní modelov ukazuje je ukázaný na obrazku 3.1.

# Kapitola 4

## Experimentálne porovnanie modelov

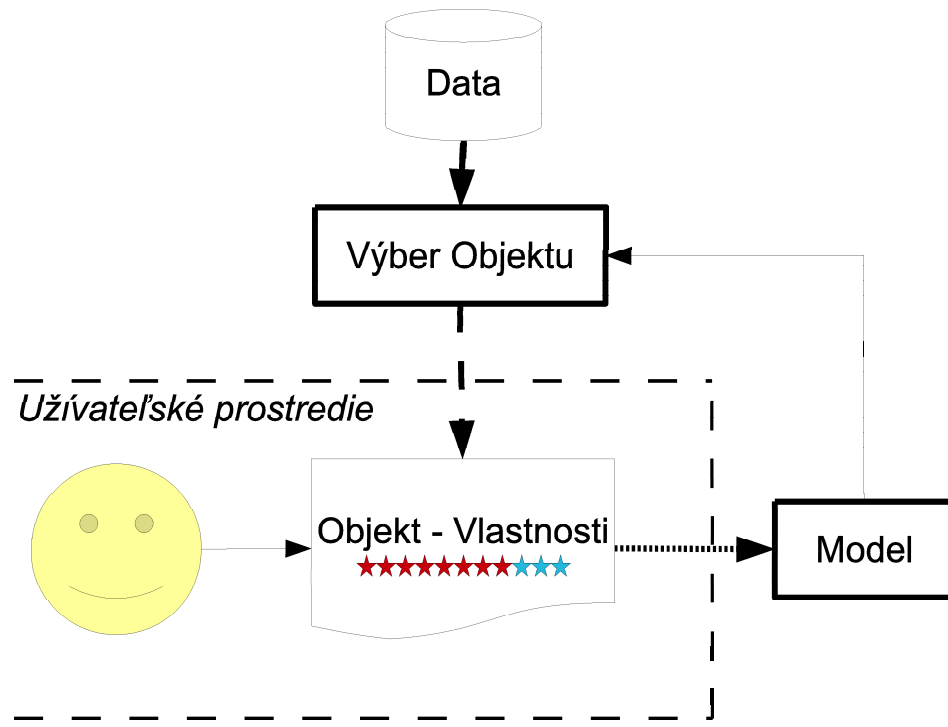
Hlavnou myšlienkou experimentu je určiť presnosť navrhnutého modelu rozhodovania so skrytým užívateľom a zároveň porovnať jeho presnosť s iným existujúcim modelom rozhodovania. Data o objektoch sú uložené v relačnej databáze *MySQL* ako jedna tabuľka, ktorá má  $m$  atribútov. Celý program je naprogramovaný v jazyku *Java*.

- **Skrytý užívateľ** reprezentuje konkrétnego užívateľa a obsahuje ohodnotenie všetkých objektov. K porovnaniu presnosti modelu rozhodovania boli použití štyria rozdielni užívatelia (vid. 4.3). Kazdý z nich je reprezentovaný jednou tabuľkou v databáze s atribútmi *ID* a *RATING*.
- **Použité dátá**, na ktorých boli prevádzané testy sú zobrazené z [49]. Veľkosť testovacej sady je 800 rozdielnych a reálnych notebookov.

### 4.1 Popis experimentu

Experiment predpokladá na jednej strane existenciu skrytého užívateľa a na druhej strane program predkladajúci užívateľovi objekty k zadaniu preferencií, ktoré

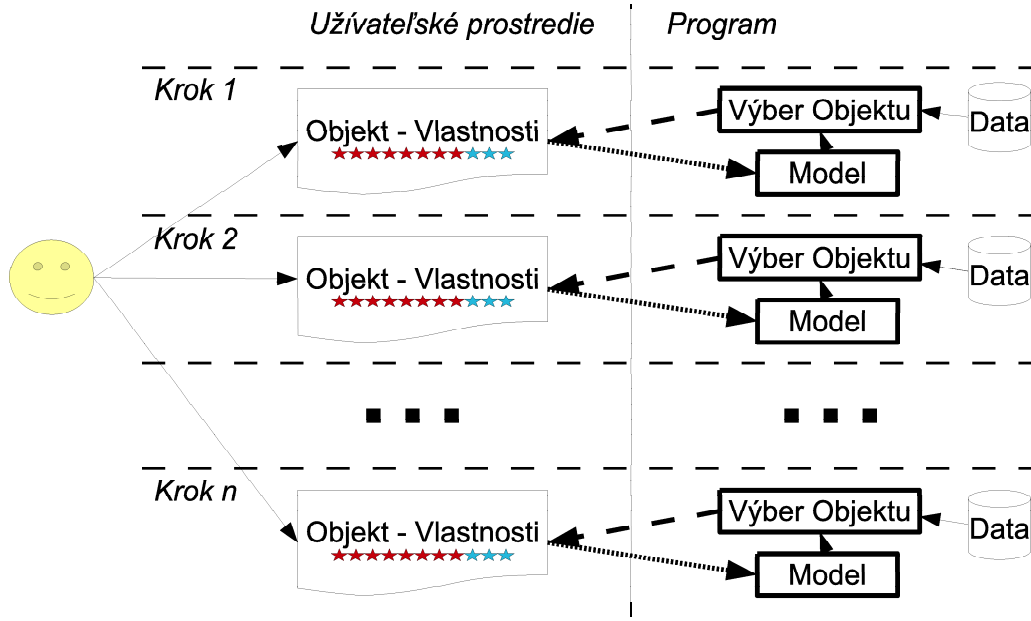
následne použije k vytvoreniu modelu rozhodovania. Skrytý užívateľ obsahuje preferencie o všetkých objektoch, ale program nevyužíva informácie o týchto preferenciach. V experimente je skrytému užívateľovi predložený objekt s určitými vlastnosťami. Tento objekt má ohodnotiť na základe svojich preferencií hodnotou od 1 do 10, kde 1 je najhoršie a 10 najlepšie hodnotenie. Množina ohodnení bude značená ako  $R$  a jednotlivé hodnoty  $r_1, \dots, r_{10}$ . Aj keď sa užívateľ rozhoduje na základe vlastností objektu, hodnotenie je len jedno pre celý objekt. Táto infomácia je predaná programu, ktorý podľa nej vytvorí model rozhodovania daného užívateľa (obrázok 4.1).



Obrázek 4.1: Jeden krok experimentu

Krok ohodnocovania objektov sa opakuje, čiže užívateľovi je ponúknutý iný objekt, ktorý má opäť, na základe svojich preferencií, ohodnotiť hodnotou z množiny  $R$  od 1 do 10. Ohodnenie skrytým užívateľom je predané programu, ktorý postupne s každým ďalším ohodnoteným objektom upravuje a spresňuje model rozhodovania daného skrytého užívateľa (obrázok 4.2).

Po každom ohodnotenom objekte sú modelom rozhodovania vygenerované ohod-



Obrázek 4.2: Viac krokov experimentu

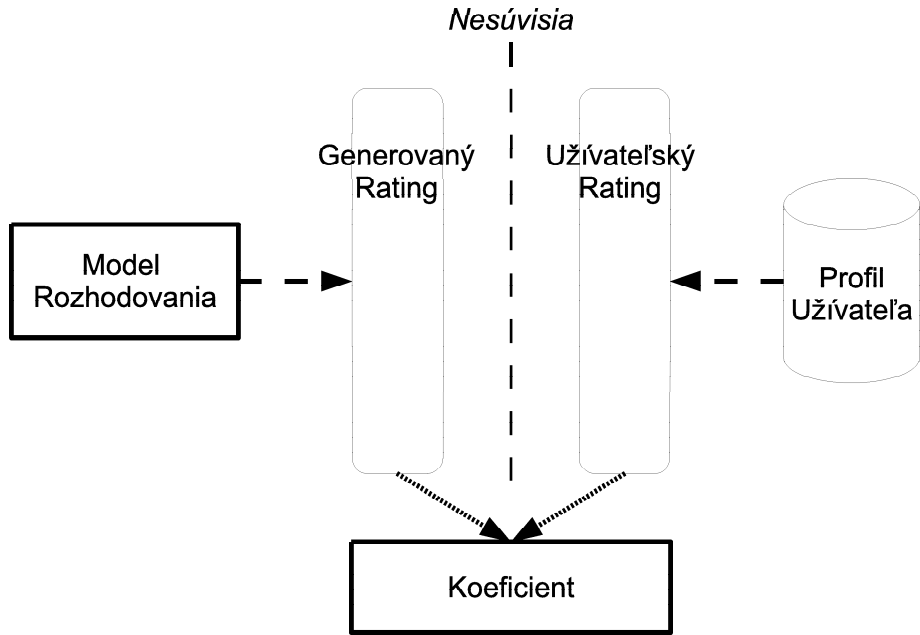
tenia všetkých existujúcich objektov, ktoré sú porovnané so skutočným ohodnením všetkých objektov, obsiahnutých v skrytom užívateľovi (viď. obrázok 4.3). Generované ohodnenie reprezentuje preferencie užívateľa z pohľadu modelu rozhodovania, ktorý vychádza z doposiaľ znamých informácií o preferenciách.

## 4.2 Ciel, problémy a výsledky

**Cieľom** je aby užívateľ ohodnotil, čo najmenej objektov (veľa hodnotení je pre užívateľa zatažujúce) a vzniknutý model rozhodovania bol čo najpresnejší. Respektíve, aby modelom vytvorených ohodnotení bolo čo najvernejšou kópiou skutočného ohodnenia všetkých objektov.

**Problémy** plynúce z navrhnutého experimentu na hľadanie čo najefektívnejšieho modelu rozhodovania je možné rozdeliť do niekoľkých skupín.

- **Výber nasledujúceho objektu**, ktorý má byť ponúknutý užívateľovi k ohodnoteniu. Výber sa aplikuje v každom kroku (viď. 4.5).



Obrázek 4.3: Analýza výsledku

- **Model rozhodovania** je napodstatnejšou časťou. Za model rozhodovania je možné použiť akýkoľvek nástroj schopný postupného učenia z ohodnotených objektov a predpovedania užívateľského rozhodovania (viď. 4.6).
- **Presnosť** postupne vznikajúceho modelu rozhodovania sa porovnáva s ohodnotením všetkých objektov podľa daného skrytého užívateľa. V skutočnosti takéto ohodnotenie modelu nie je známe a tieto informácie pri práci model nevyužíva (viď. 4.4).

**Výsledky** sa pozorujú na zmene presnosti modelu pri postupnom ohodnotení objektov. Pri predstave na grafie os  $x$  reprezentuje počet ohodnotených objektov, z ktorých bol vytvorený model rozhodovania a os  $y$  reprezentuje presnosť modelu. Príklady grafov je možné nájsť v kapitole 5 obsahujúcej výsledky.

## 4.3 Použité typy užívateľov

Požiadavky jednotlivých užívateľov sú rozdielne a vzájomne sa líšia, pre potreby experimentu boli definovaní štyria modeloví užívatelia. Dá sa povedať, že každý z nich reprezentuje určitú skupinu užívateľov, v eksperimente sú však považovaní za jednotlivcov.

**Kancelária:** Tento typ užívateľov uprednostňuje na prvom mieste cenu, potom kvalitu a výdrž batérie. Nekladie sa dôraz na odolnosť, prenositeľnosť, nie je potrebný 3D výkon ani veľká RAM pamäť. Užívateľ tejto kategórie väčšinou používa Windows XP (Vista, 7) plus balíček MS Office prípadne iný, špecializovaný program potrebný pre prácu (napríklad účtovníctvo), internet a občasné prehrávanie multimédií (hudba alebo filmy).

- Cena: 15 – 20 tisíc Kč. Cena je hlavným limitom, preto jej rozpätie sa drží v dolných cenových hladinách ponuky.
- Procesor: AMD 1.8 – 2.2 GHz
- Pamäť: 1 - 3 GB RAM DDR2
- Display: 15.4”
- Grafická karta: integrovaná (zdieľaná pamäť)
- Značka: Acer, Asus

**Manažér:** Predstavuje užívateľa, ktorý je neustále v pohybe a potrebuje mať svoj počítač pri sebe. Dôraz je kladený na hmotnosť, rozmeru a výdrž baterie. Samotný výkon nie je úplne zanedbateľný a zvládá už náročnejšie aplikácie. Kvôli nadštandardným požiadavkám (výkon a mobilita) je cena vyššia ako v prípade kancelárskych notebookov. Umožňuje používať akékoľvek potrebné aplikácie a zároveň dlhodobo cestovať s počítačom (dlhá služobná cesta, prípadne zamestnanie vyžadujúce mobilitu). Hlavnou výhodou týchto notebookov sú ich malé rozmeru a z toho vyplývajúca

malá hmotnosť (2 Kg) a odolnosť. Hardwareová výbava je pritom pomerne výkonná a udržuje si nízku spotrebu a tým aj vysokú výdrž batérie (3 hodiny).

- Cena: 40 – 50 tisíc Kč
- Procesor: Intel, AMD 1.6 – 2.5 GHz
- Pamäť: 3 - 5 GB RAM DDR2
- Display: 12" - 14.1"
- Grafická karta: integrovaná (zdieľaná pamäť)
- Značka: Hewlet-Packard, Fujitsu-Siemens ale aj ostatní výrobcovia

**Hráč:** Užívateľ vyžaduje hlavne výkon pre najnovšie hry, ktoré sú veľmi náročné na celkovú výkonnosť počítača. Cena a výdrž batérie v tomto prípade nehrá dôležitú úlohu. Podstatný je výkonný procesor, veľká RAM pamäť a hlavne grafická karta. Užívateľ sa zameriava na najnovšie technológie.

- Cena: 30 – 60 tisíc Kč, alebo bez limitu
- Procesor: Intel 2.3 – 3.06 GHz a viac
- Pamäť: 4 - 8 GB RAM DDR3
- Display: 15.4" - 17" a viac
- Grafická karta: samostatné grafické karty (nezdieľaná pamäť)
- Značka: Dell, Hewlet-Packard, Ferrari, Acer

**Desktop:** Ide o užívateľa, ktorý sa rozhodol pre notebook plne nahradzajúci domáci desktopový počítač. Pomerne dôležitý je výkon, ktorý by mal byť porovnateľný s desktopovou variantou. Kvôli univerzálnosti sú dôležité porty. Naopak sa nekladie dôraz na výdrž batérie a celkovú odolnosť počítača. Doplňkom vybavenia býva dokovacia stanica s dobíjaním batérie a pripojením ďalších komponentov, taktiež

z dôvodu nízkej (až žiadnej) mobility sa notebook napája na väčší monitor. Hardware týchto notebookov je pomerne výkonný a spadá medzi manažérské a hráčske notebooky. Cenová hladina je vyššia ako u kancelárskych notebookov, ale pre nízku prenositeľnosť je možné zvýšiť výkonnosť.

- Cena: 20 – 30 tisíc Kč
- Procesor: Intel, AMD 2.0 – 2.5 GHz
- Pamäť: 3 - 5 GB RAM DDR2
- Display: 15.4"
- Grafická karta: samostatné grafické karty (nezdieľaná pamäť)
- Značka: všetci výrobcovia

## 4.4 Porovnávanie presnosti výsledku

K porovnávaniu presnosti a zmeny jednotlivých výsledkov bol zvolený korelačný koeficient a výpočet priemernej absolútnej chyby<sup>1</sup>. Použité metódy sú názorne ukázané na príklade uvedenom v nasledujúcej tabuľke 4.1, ktorá ukazuje dve postupnosti ohodnení  $G$  a  $U$ , kde  $G$  reprezentuje generované ohodnenie objektov modelom rozhodovania a  $U$  skutočné ohodnenie objektov užívateľom. Podľa generovaného ohodnenia je nalepsím objektom objekt s  $ID = 4$  a podľa užívateľa je najleším objektom objekt s  $ID = 2$

### 4.4.1 Korelačný koeficient

*Korelačný koeficient* reprezentuje lineárnu závislosť medzi dvoma premennými, inak tiež meria silu závislosti medzi dvoma kvantitatívnymi premennými. Premenná  $G$  nezávisí na premennej  $U$ , ale dve náhodné premenné  $G$  a  $U$  sa spoločne menia. Korelačný koeficient môže byť vyjadrený nad poradovými alebo neporadovými premenými. Taktiež množina porovnávaných hodnôt môže byť rozdielna. Pre potreby tejto

---

<sup>1</sup>Mean Absolute Error

Id	$G$	$U$
1.	6	6
2.	9	1
3.	2	6
4.	5	9
5.	1	4

Tabuľka 4.1: Príklad dvoch ohodnotení

práce boli vybrané len koeficienty porovnávajúce poradové premenné nad rovnakou množinou hodnôt. Korelačný koeficient nadobúda hodnoty na intervale  $[-1, 1]$ , kde  $-1$  predstavuje nezhodu pre každé  $i \neq j$  a  $1$  predstavuje zhodu pre každé  $i \neq j$ . Podľa J.Cohena [3] je korelácia pod  $0, 1$  triviálna,  $0, 1 - 0, 3$  malá,  $0, 3 - 0, 5$  stredná a nad  $0, 5$  veľká. Korelácia  $0, 7 - 0, 9$  sa často uvádzá ako veľmi veľká a  $0, 9 - 1$  ako takmer dokonalá. Vzťahy medzi dvoma premennými z množiny  $G$  a  $U$  s indexom  $i$  a  $j$ , kde  $i \neq j$  teda  $g_i, g_j, u_i$  a  $u_j$  sú

Súhlasné(C - Concordant)  $(g_i < g_j) \& (u_i < u_j)$  alebo  $(g_i > g_j) \& (u_i > u_j)$

Nesúhlasné(D - Discordant)  $(g_i > g_j) \& (u_i < u_j)$  alebo  $(g_i < g_j) \& (u_i > u_j)$

Zhoda v  $X$  a  $Y(XY0)$   $(g_i = g_j)(u_i = u_j)$

Zhoda v  $X(X0)$   $(g_i = g_j)(u_i \neq u_j)$

Zhoda v  $Y(Y0)$   $(g_i \neq g_j)(u_i = u_j)$

Aplikovaním na príklad uvedený v tabuľke 4.1 vychádza

$i$	$j$	$g_i <= > g_j$	$u_i <= > u_j$	typ
$i = 1$	$j = 2$	$6 < 9$	$6 > 1$	Nesúhlasné
$i = 1$	$j = 3$	$6 > 2$	$6 = 6$	Zhoda v $Y$
$i = 1$	$j = 4$	$6 > 5$	$6 < 9$	Nesúhlasné
$i = 1$	$j = 5$	$6 > 1$	$6 > 4$	Súhlasné
$i = 2$	$j = 3$	$9 > 2$	$1 < 6$	Nesúhlasné
$i = 2$	$j = 4$	$9 > 5$	$1 < 9$	Nesúhlasné
$i = 2$	$j = 5$	$9 > 1$	$1 < 4$	Nesúhlasné
$i = 3$	$j = 4$	$2 < 5$	$6 < 9$	Súhlasné
$i = 3$	$j = 5$	$2 > 1$	$6 > 4$	Súhlasné
$i = 4$	$j = 5$	$5 > 1$	$9 > 4$	Súhlasné

Celkový počet súhlasných párov je 4, nesúhlasných 5 a nastala jedna zhoda v  $Y$ .

**Kendall Tau-A** Tento koeficient [15] vyjadruje rozdiel medzi pravdepodobnosťou dvoch hodnôt premenných v rovnakom poradí oproti tomu, že tieto dve premenné nie sú v rovnakom poradí.

$$\tau_A = \frac{C - D}{(N * (N - 1)) / 2} \quad (4.1)$$

kde  $N$  je počet prvkov množiny  $G$  ( $U$ ). Na vyššie uvedenom príklade je Kendall Tau-A koeficient rovný  $-0,1$   $((4 - 5) / 10)$ .

**Kendall Tau-B** Nevýhodou Kednall Tau-A koeficienu je, že neberie do úvahy zhodné páry objektov. Preto je vhodnejšie použiť Kendall Tau-B koeficient.

$$\tau_B = \frac{C - D}{\sqrt{(C + D + X0) * (C + D + Y0)}} \quad (4.2)$$

Z príkladu je hodnota koeficientu rovná  $\frac{-1}{\sqrt{90}} = -0,105$ . Pri absencii zhodných párov je Kendall Tau-A koeficient rovný Kendall Tau-B koeficientu.

#### 4.4.2 Priemerná absolúttná chyba

Jedná sa o spôsob definovania podobnosti na základe výpočtu priemernej odchylky medzi jednotlivými pármí  $g_i$  a  $u_i$  pre každé  $i$  z  $n$ .

$$MAE = \frac{1}{n} \sum_{i=1}^n |x_i - y_i| \quad (4.3)$$

V modelovom príklade má priemerná absolúttná chyba hodnotu  $3,8$  ( $\frac{|6-6|}{5} + \frac{|9-1|}{5} + \frac{|2-6|}{5} + \frac{|5-9|}{5} + \frac{|1-4|}{5} = \frac{19}{5}$ ). Pri ohodnocovaní objektov hodnotami od 1 do 10 a pri braní v úvahu zaokrúhľovanie hodnôt sa dá povedať, že veľkosť  $MAE$  od 0 do 0.5 je hodnotenie veľmi presné. Pri porovnávaní presnosti na základe korelačného koeficientu a priemernej absolútnej chyby je možné sledovať súvislosť a to, že pri veľkej hodnote korelačného koeficientu (približujúceho sa k 1) je samotná hodnota priemernej absolútnej chyby zanedbateľná. Z tohoto prípadu vyplýva, že usporiadanie objektov modelom rozhodovania je takmer rovnaké ako skutočné usporiadanie, aj keď ohodnotenie bolo posunuté. Na druhej strane malá hodnota priemernej absolútnej chyby naznačuje pomerne presné ohodnotenie objektov a to aj pri korelačnom koeficiente približujúcim sa k 0. Sledovaním oboch nástrojov (korelačného koeficientu a najmenšej absolútnej chyby) je možné pomerne presne hodnotiť efektívnosť modelu rozhodovania.

#### 4.4.3 Porovnanie top- $k$ hodnotení

V praxi je často hlavnou myšlienkovou nájsť len najpreferovanejšie objekty a nie určiť poradie aj tých najmenej preferovaných, a teda nezaujímových objektov. Preto je efektívnosť jednotlivých modelov sledovaná aj na základe podobnosti top  $k$  množín najlepších objektov. Teda pri porovnaní top  $k$  množín sa zoberie množina  $U_k$  obsahujúca  $k$  najlepších užívateľom ohodnotených objektov a množina  $G_k$  predstavujúca  $k$  najlepších modelom ohodnotených objektov a vypočítava sa percentuálna podobnosť množiny, teda kolko percent z množiny  $G_k$

$$top - k = \frac{G_k}{U_k * 100}$$

je obsiahnutých v množine  $U_k$ . Pri ohodnocovaní objektov z malej množiny hodnôt  $R$  a pri dostatočne malom  $k$  nie sú množiny  $U_k$  a  $G_k$  rovnako veľké. V tomto prípade musia tieto množiny obsahovať aspoň  $k$  hodnotení. Viac o hľadaní top  $k$  najlepších objektov je možné nájsť v [32] a [31].

## 4.5 Výber objektu

Pri výbere objektu je možné použiť viaceru metód. Hlavnou myšlienkovou je, aby informácia o ohodnotenom objekte bola pre model rozhodovania čo najprínosnejšia. Teda jej ohodnenie čo najviac spresnilo samotný model. Pri výbere platí podmienka, že každý objekt môže byť užívateľom ohodnotený len raz. Jednotlivé možnosti výberu objektov určených k ohodnocovaniu budú ukázané na príklade piatich objektov s tromi atribútmi, z ktorých prvý nadobúda hodnoty  $\{A, B, C\}$ , druhý  $\{K, L, M\}$  a tretí  $\{X, Y, Z\}$ . Z tabuľky 4.2 je možné vypočítať výskyt jednotlivých hodnôt atri-

$ID$	Atribút 1	Atribút 2	Atribút 3	Výskyt
1	$A$	$K$	$X$	5
3	$B$	$L$	$Y$	4
4	$A$	$L$	$Z$	8
5	$A$	$M$	$Z$	8
6	$C$	$M$	$Z$	6

Tabuľka 4.2: Príklad dvoch ohodnotení

bútov vo všetkých objektoch, takže  $A = 3$ ,  $B = 1$ ,  $C = 1$ ,  $K = 1$ ,  $L = 2$ ,  $M = 2$ ,  $X = 1$ ,  $Y = 1$  a  $Z = 3$ . Následne je možné spočítať celkový výskyt jednotlivých objektov (viď. tabuľka 4.2).

**Lineárny výber:** pri tomto výbere sa berie v úvahu len  $ID$  objektu. Výber podľa  $ID$  objektu neobsahuje žiadnu predikciu, kedže pod  $ID$  sa môže skrývať objekt s ľubovoľnými vlastnosťami. Na príklade z tabuľky 4.2 sa ako prvý zoberie objekt s  $ID = 1$ , ako druhý objekt s  $ID = 3$ , kedže objekt s  $ID = 2$  nie je v príklade

obsiahnutý. Tento výber neberie v úvahu prínos vybraného objektu.

**Maximálny výskyt:** je založený na súčte výskytov jednotlivých atribútov obsiahnutých v objekte. Pri maximálnom výskyte sa berie ako prvý objekt s najväčším výskytom jednotlivých atribútov. Na príklade z tabuľky 4.2, by boli ako prvé dva vybrané objekty s  $ID = 4$  a  $ID = 5$ , na poradí nezáleží, keďže ich výskyt je rovnaký.

**Minimálny výskyt:** výber je založený na podobnom princípe ako u maximálneho výskytu, ale pri minimálnom výskyte sa berie ako prvý objekt s najmenším výskytom jednotlivých atribúov. Z príkladu v tabuľke 4.2 je prvým vybraným objekt s  $ID = 3$  a druhý s  $ID = 1$ .

**Najlepšie/Najhoršie ohodnotený:** pri tomto výbere sú všetky objekty, ktoré ešte užívateľ neohodnotil, ohodnotené modelom rozhodovania. Na základe tohto ohodnotenia je vybraný objekt s najlepším/najhorším ohodnotením a ten je predaný užívateľovi k hodnoteniu.

**Najväčšia informácia:** tento výber berie do úvahy už použité objekty a vyberá objekt, ktorý obsahuje čo najviac nepoužitých vlastností jednotlivých atribútov. Prvý objekt je vybraný náhodne, keďže ešte nebola použitá žiadna z vlastností. Napríklad, ako prvý sa vyberie objekt s  $ID = 4$ , ktorý obsahuje informáciu o vlastnostiach  $A$ ,  $L$  a  $Z$ . Na základe toho objekt s  $ID = 1$  obsahuje nové informácie o dvoch vlastnostiach  $K$  a  $X$ , objekt s  $ID = 3$  o  $B$  a  $Y$ , objekt s  $ID = 5$  jedine o  $M$  a objekt s  $ID = 6$  o vlastnostiach  $M$  a  $C$ . Takže ako druhý bude vybraný objekt 1,3 alebo 5.

Najlepšie/najhoršie ohonotený výber spolu s výberom podľa najväčšej informácie nedefinujú výber prvého objektu a taktiež pri každom ďalšom výbere objektu môžu poskytnúť väčšie množstvo objektov. K získaniu väčšej kontroly nad výberom objektu je možné na túto skupinu objektov následne použiť lineárny výber alebo výber podľa najväčšieho/najmenšieho výskytu.

V práci sú rozlíšené primárne a sekundárne výbery objektov. Primárne sa uplatňujú ako prvé na výber zo všetkých objektov, následne je na možnosti, vyhovujúce primárному výberu, aplikovaný sekundárny výber. V práci boli medzi primárne výbery zaradené najlepšie/najhoršie hodnotený objekt a výber podľa najväčnej informácie. Medzi sekundárne výbery potom patrí minimálny/maximálny výskyt a linárny výber.

## 4.6 Model rozhodovania

Navrhnutý model rozhodovania je založený na výpočte preferencií objektov na základe pravdepodobností. Model postupne vytvára (upravuje), maticu obsahujúcu rozloženie pravdepodobností jednotlivých hodnotení pre každú použitú vlastnosť jednotlivých atribútov. Takže ak  $|R|$  je počet ohodnotení (v experimente  $|R| = 10$ ) a počet hodnôt všetkých atribútov je  $|A'| = \sum_{k=1}^m |A^k|$ , kde  $|A^k|$  je počet atribútov  $k$ -teho atribútu, potom maximálna veľkosť matice je  $|R| \times |A'|$ . Model taktiež postupne vytvára maticu rozloženia pravdepodobností pre každú použitú dvojkombináciu atribútov  $A^k$  a  $A^l$ , kde  $k \neq l$ . Maximálny celkový počet riadkov matice je  $|A''| = \sum_{k=1}^m \sum_{l=k+1}^m |A^k| * |A^l|$ .

**Ohodnotenie objektu** K výpočtu ohodnotenia neznámeho objektu sú použité všetky vyhovujúce riadky. To znamená všetky riadky, ktorých vlastnosť alebo doj-kombinácia vlastností je obsiahnutá v hodnotiacom objekte. Na výpočet ohodnotenia neznámeho objektu môže byť použitá:

- len tabuľka obsahujúca samostatné vlastnosti atribútov
- len tabuľka obsahujúca dvojkombináciu vlastnosti atribútov
- obe tabuľky pravdepodobnostného rozdelenia

Z príslušných vyhovujúcich riadkov pravdepodobnostného rozdelenia sú vypočítané (vybrané) ohodnotenia objektu v závislosti na danej vlastnosti alebo dvojkombinácii

vlastností. Možnosti hodnotenia objektu v závislosti na vlastnosti alebo dvojkombinácií vlastností objektu sú budť:

- vybrať najlepšie hodnotenie z hodnotení s najväčšou pravdepodobnosťou

$$\max(r_i), \text{ kde } r_i \in \max(P(r_i)) \quad (4.4)$$

- vybrať najhoršie hodnotenie z hodnotení s najväčšou pravdepodobnosťou

$$\min(r_i), \text{ kde } r_i \in \max(P(r_i)) \quad (4.5)$$

- vypočítať priemerné hodnotenie

$$\sum_{i=1}^n (r_i * P(r_i)) \quad (4.6)$$

kde  $r_i$  je hodnotenie  $(1, \dots, 10)$  a  $P(r_i)$  je pravdepodobnosť hodnotenia  $r_i$  v danom riadku pravdepodobnostného rozdelenia. Vysledné ohodnotenie objektu je vypočítané ako aritmetický priemer všetkých hodnotení použitých riadkov  $\frac{1}{l} \sum_{i=1}^n (r_i * P(r_i))$ . Modelový príklad v tabuľke 4.3 ukazuje ohodnotenie po prvých piatich krokoch.

Krok	RAM	Výrobca	Cena	Rating
1.	1024	Dell	10k–20k	2
2.	1024	HP	10k–20k	1
3.	2048	HP	20k–30k	2
4.	2048	Dell	20k–30k	3
5.	4096	HP	20k–30k	3

Tabuľka 4.3: Príklad hodnotenia prvých piatich notebookov.

Teda ohodnotenie prvých piatich notebookov s tromi vlastnosťami *RAM*, *Cena* a *Výrobca*. Tabuľka 4.4a ukazuje pravdepodobnostné rozdelenie jednotlivých vlastností atribútov a tabuľka 4.4b pravdepodobnostné rozdelenie použitých dvojkombinácií atribútov. Vypočítané ohodnotenia notebooku od výrobcu *HP*, veľkosťou RAM 2048MB a cenou od 10 000Kč do 20 000Kč závisia na použitom výbere pravdepodobnosti z možných riadkov a taktiež na použitých tabuľkách. Jednotlivé ohodnotenia

Rating			Level Jedna
1	2	3	
0.5	0.5	0	1024
0	0.5	0.5	2048
0	0	1	4096
0.5	0.5	0	10k–20k
0	0.33	0.66	20k–30k
0	0.5	0.5	Dell
0.33	0.33	0.33	HP

(a) Použité atribúty

Rating			Level Dva
1	2	3	
1	0	0	1024–HP
0	1	0	2048–HP
0	0	1	4096–HP
0	1	0	1024–Dell
0	0	1	2048–Dell
0.5	0.5	0	10k–20k–1024
0	0.5	0.5	20k–30k–2048
0	0	1	20k–30k–4096
1	0	0	HP–10k–20k
0	0.5	0.5	HP–30k–30k
0	1	0	Dell–10k–20k
0	0	1	Dell–20k–30k

(b) Dvojkombinácia atribútov

Tabuľka 4.4: Príklad pravdepodobnostného rodelenia pre tabuľku 4.3

sú ukázané v tabuľke 4.5. V tabuľke riadky reprezentujú spôsob výpočtu preferencie z jedného riadku pravdepodobnostného rozdelenia a stĺpce reprezentujú aké tabuľky boli k výpočtu použité.

	Úroveň jedna	Úroveň dva	Obe úrovne
Nalepší rating	2.66	2.5	2.2
Najhorší rating	1.33	2	1.4
Priemerný rating	2	2.25	1.8

Tabuľka 4.5: Výsledné hodnotenie pre notebook *HP*, RAM 2048MB a cena 10 000Kč–20 000Kč

# Kapitola 5

## Analýza výsledkov experimentu

Všetky testy sú prevádzané na sade reálnych notebookov prevzatých z [49]. Veľkosť testovacej sady je 800 rozdielnych a reálnych notebookov. Každý notebook obsahuje jedinečné atribúty  $ID$  a  $Url$  z ktorých  $ID$  slúži ako primárny kľúč a  $Url$  nie je zahrnuté do testov, keďže nadobúda vždy rozdielnú hodnotu. Ďalej obsahuje 13 rozdielnych atribútov cena ( $Price$ ), veľkosť LCD v palcoch ( $LCD$ ), výrobca procesoru ( $CPU\_maker$ ), výkon procesoru v GHz ( $CPU\_GHz$ ), typ RAM pamäte ( $RAM\_type$ ), veľkosť RAM pamäte ( $RAM\_MB$ ), prevácková frekvencia RAM pamäte ( $RAM\_MHz$ ), typ a otáčky HDD ( $HDD\_type$ ), veľkosť HDD ( $HDD\_MB$ ), informácia o tom či obsahuje alebo neobsahuje DVD-ROM ( $DVD\_ROM$ ), výrobca notebooku ( $Brand$ ), váha notebooku ( $Weight\_Kg$ ) a výdrž batérie ( $Battery\_H$ ), z ktorých všetky sú požité pri výpočte modelu.

Jednotlivé testy boli prevadznané na štyroch rozdelených skrytých uživateloch popísaných v kapitole 4.3. Výsledky testov sú rozdelené do štyroch skupín podľa spôsobu hodnotenia presnosti modelu a to na Kendall Tau-A koerelačný koeficient, Kendall Tau-B koerelačný koeficient, výpočet najmenšej absolutnej chyby a porovnanie percentuálnej podobnosti top- $k$  objektov. Jednotlivé možnosti porovnania presností sú bližšie rozobrané v kapitole 4.3.

Vo výsledných grafoch je navrhnutý model porovnaný s modelom založeným na teórií Support Vector Regression (viď. kapitola 2.5.4), ktorý bol spustený za tých istých

podmienok ako navrhnutý model UserDecision. Použitá implementácia modelu Support Vector Regression bola prevzaná z [48], ktorá je založená na voľne šíritelnej licencii GPL. Viac je možné nájsť na [11].

## 5.1 Nastavenie aplikácie UserDesicion

Celková variabilita nastavení aplikácie je pomorne široká a preto bolo urobených veľké množstvo testov, ktoré nie sú zahrnuté vo výsledkoch. Niektoré z testov dosahovali veľmi kolísajúce výsledky pri špecifických nastaveniach. K finálnemu hodnoteniu bola zo všetkých možných globálnych nastavení výbraná kombinácia, pri ktoréj model UserDecision dosahoval najlepšie a najvyrovnanejšie výsledky:

**Výber objektu** pri výbere objektu (viď kapitola 4.5) sa ukázalo, že najväčším prínosom pre model bola kombinácia:

- **primárny výber** podľa najmenšieho použitia
- **sekundárny výber** podľa minimálneho výskytu

**Typ rozdelenia** efektívnejším rozdelením spojitych atribútov je podľa testov ekvifrekvenčné rozdelenie oproti ekvidistančnému rozdeleniu (viď kapitola 2.3)

**Počet skupín rozdelenia** spojitych atribútov (viď kapitola 2.3) sa na testovaných dátach ukázal ako 5 pričom jeho rozdiel oproti 4 a 6 bol pomerne malý

Pre nastavenie modelu UserDecision (viď. kapitola 4.6) sa najlepšie a najvyrovnanejšie výsledky dosahli pri nastaveniach:

**Úroveň tabuľiek** je najlepšie nastaviť len na samotnú dvojkombináciu vlastností atribútov teda na úroveň dva. Poziťie tabuľky len úrovne jedna sa ukázalo ako slabé pre špeciálne prípady užívateľov a použitie oboch úrovni dosahovalo v priemere o niečo slabšie výsledky ako pri použití len druhej úrovne.

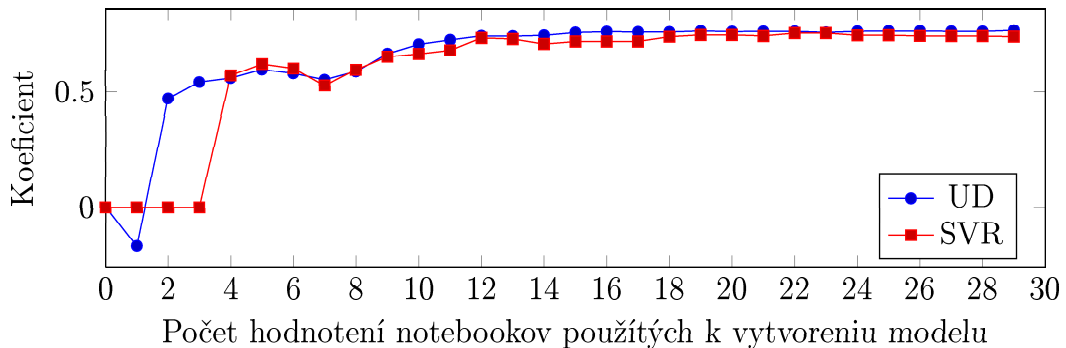
**Výber pravdepodobnosti** dosahoval vo šetkých nastaveniach porovnatelné výsledky ale o málo lepšie sa ukázal výbočet aritmetického priemeru oproti výberu najlepšieho a najhoršieho hodnotenia s najväčšou pravdepodobnosťou.

**Nastavenie top- $k$**  Porovnanie top- $k$  skupín sa ukázal ako pomerne špecifický problém. Pre každého užívateľa bolo vidieť najlepšiu rast percentuálnej podobnosti pri rozdielnych hodnotách. Preto sa za hodnotu zvolila  $k = 30$  ktorá korešponduje s reálnym svetom, kde viac ako 30 najlepších objektov už nie je tak zaujímavých. V každom prípade je zaujímavé sa zaoberať týmto smerom aj ďalej.

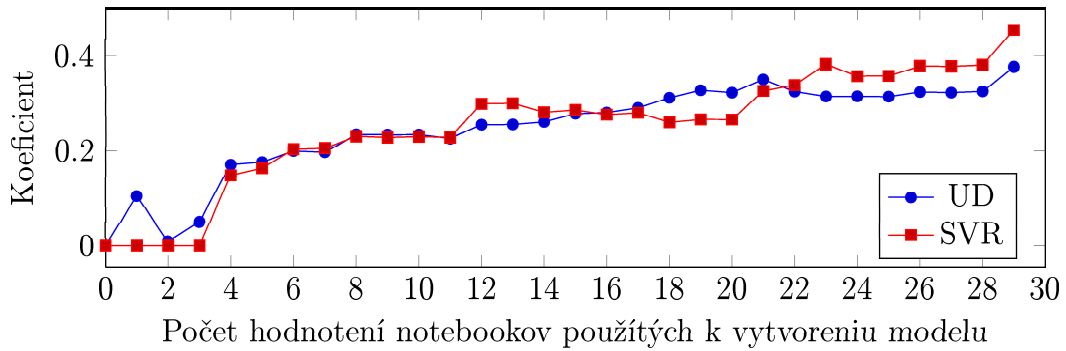
## 5.2 Porovnanie

Ako už bolo povedané navrhnutý model UserDecision bol testovaný na štyroch rozdielnych užívateľoch a výsledky boli hodnotené štyrmi rozdielnými spôsobmi. Vo všetkých prípadoch je výsledok modelu porovnaný s modelom vychádzajúcim zo SVR. Prvá skupina štyroch grafov obsahuje porovnanie štyroch užívateľov podľa Kendall Tau-B koeficientu. Druhá skupina štyroch grafov obsahuje porovnanie štyroch užívateľov podľa Kendall Tau-A koeficientu. Ďalšia skupina štyroch grafov ukazuje porovnanie štyroch užívateľov podľa najmenšej absolutnej chyby. Nakoniec posledná skupina štyroch grafov obsahuje porovnanie štyroch užívateľov podľa percentuálnej podobnosti top  $k$  objektov.

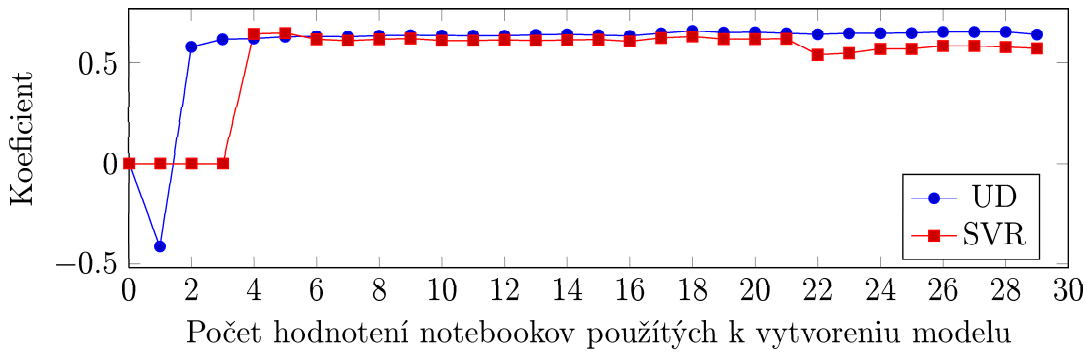
Z grafov (obrázky 5.1, 5.2, 5.3 a 5.4) porovnávajúcich užívateľov podľa Kendall Tau-B koeficientu vidieť, že model UserDecision nadobúda stabilnejších hodnot skôr ako model SVR. Taktiež je možné vypozorovať, že dosahuje o málo lepšiu hodnotu a kolísanie krivky je menšie.



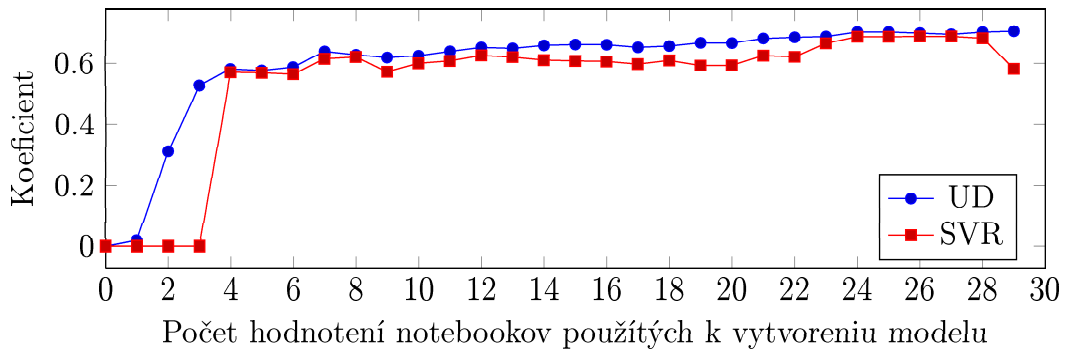
Obrázek 5.1: Desktop užívateľ hodnotený podľa Kendall Tau-B koeficientu.



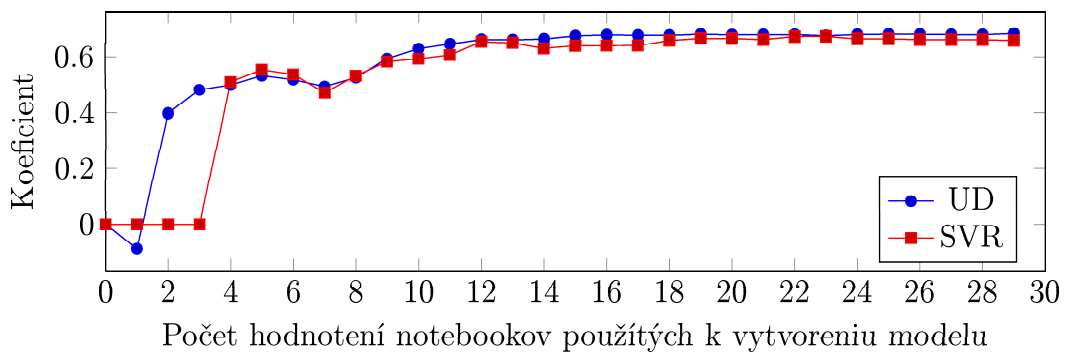
Obrázek 5.2: Užívateľ manažér hodnotený podľa Kendall Tau–B koeficientu.



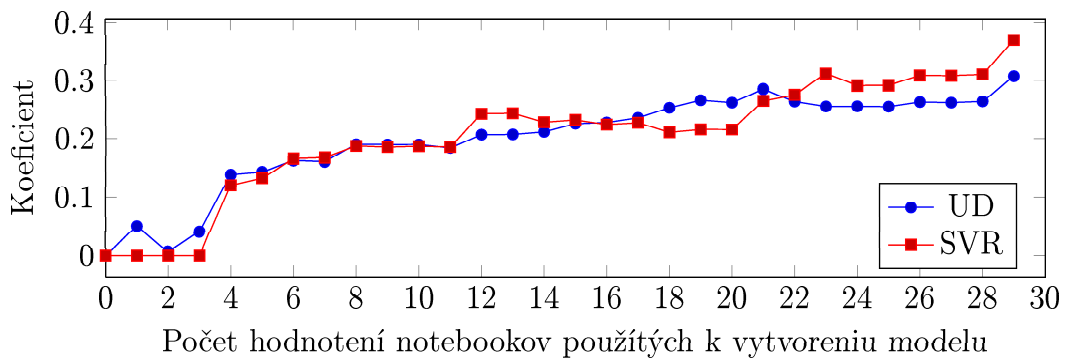
Obrázek 5.3: Užívateľ hráč hodnotený podľa Kendall Tau–B koeficientu.



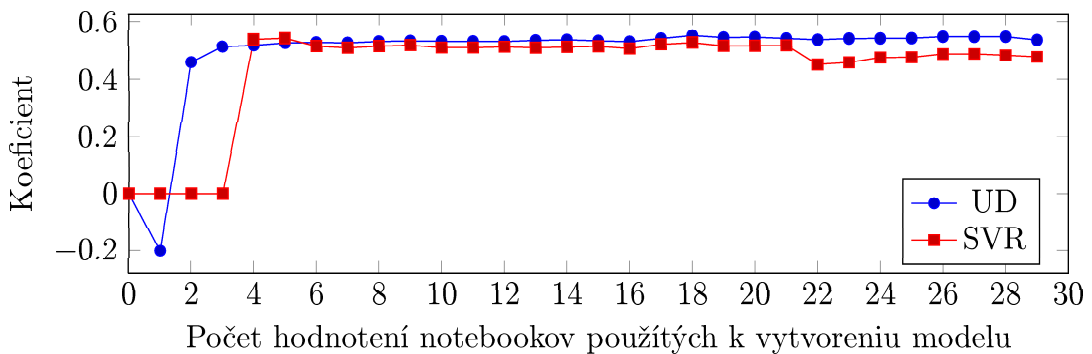
Obrázek 5.4: Kanceársky užívateľ hodnotený podľa Kendall Tau–B koeficientu.



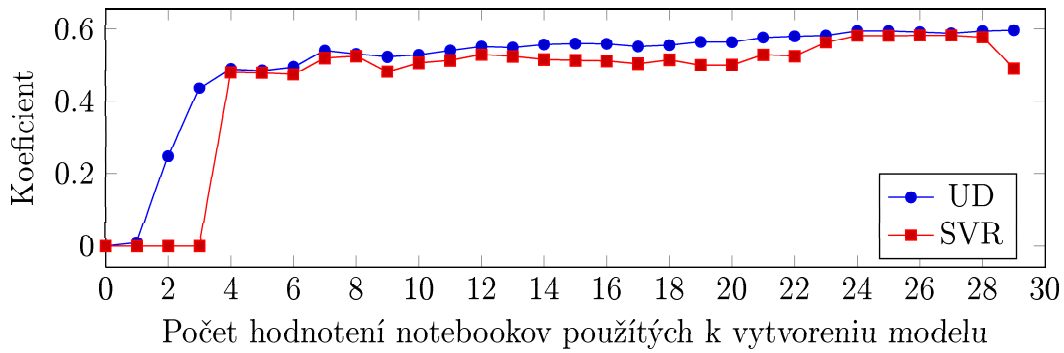
Obrázek 5.5: Desktop užívateľ hodnotený podľa Kendall Tau A koeficientu.



Obrázek 5.6: Užívateľ manažér hodnotený podľa Kendall Tau–A koeficientu.



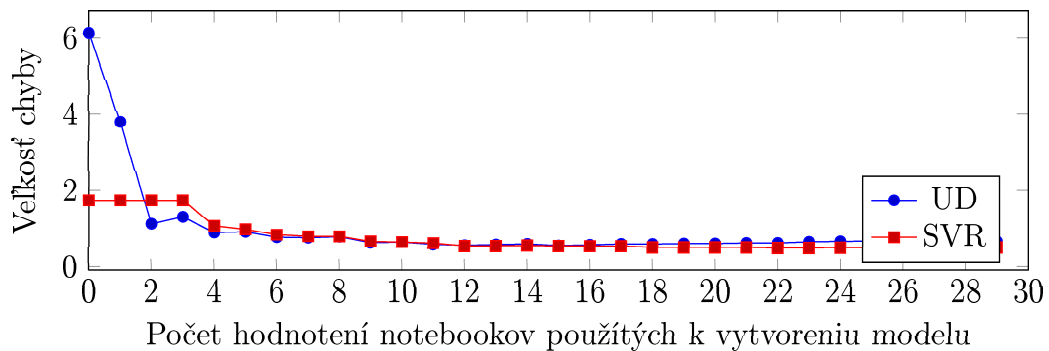
Obrázek 5.7: Hráčský užívateľ hodnotený podľa Kendall Tau–A koeficientu.



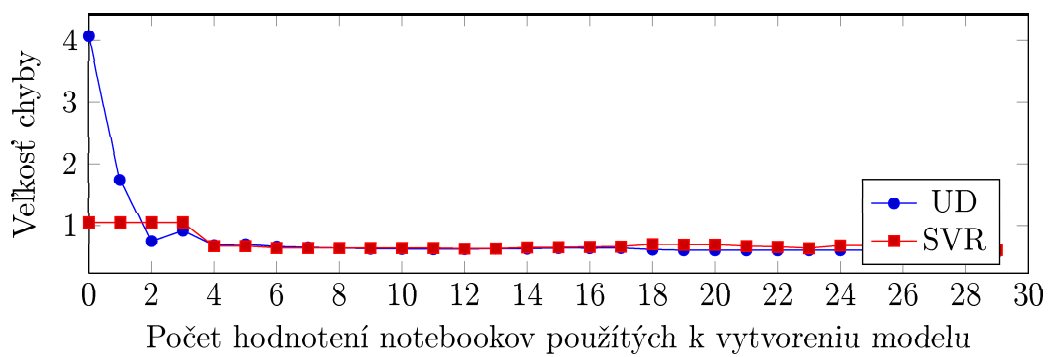
Obrázek 5.8: Kancelársky užívateľ hodnotený podľa Kendall Tau A koeficientu.

Z grafov (obrázoky 5.5, 5.6, 5.7 a 5.8) porovnávajúcich užívateľov podľa Kendall Tau A koeficientu vidieť, že model UserDecision v porovnaní so SVR sa správa podobne ako pri hodnotení podľa Kendall Tau B koeficientu. To výplýva z podobnosti výpočtu oboch koeficientov. Takže UserDecision model nadobúda stabilnejších hodnôt skôr ako model SRV, dosahuje o niečo lepšiu hodnotu a kolísanie krivky je menšie.

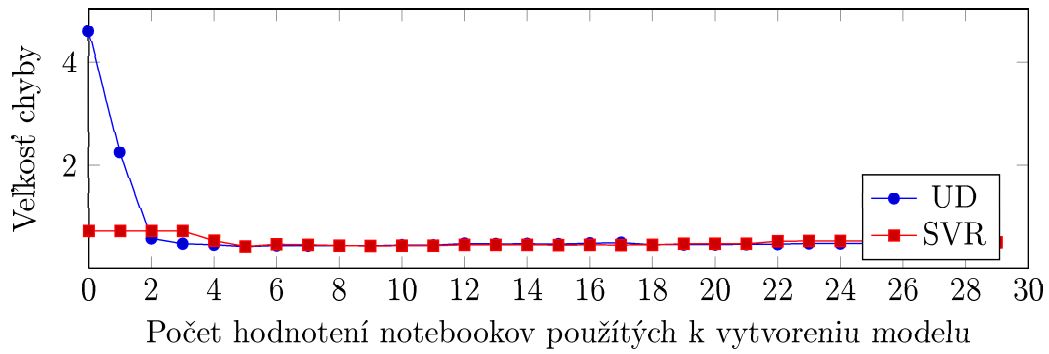
Grafy (obrázoky, 5.9, 5.10, 5.11 a 5.12) obsahujúce porovnanie užívateľov podľa najmenšej absolutnej chyby ukazujú veľkú hodnotu chyby modelu UserDecision ale len v začiatku pri hodnotách do 4-och ohodnotených objektov narozdiel od modelu SVR. Obidva modely sa pri pomerne malom množstve ohodnotených objektov ustália na hodnote 0,5 až 0,6.



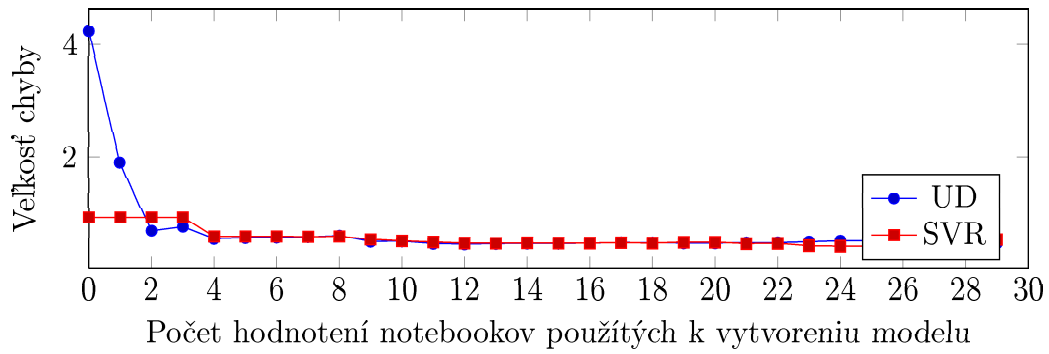
Obrázek 5.9: Desktop užívateľ hodnotený podľa najmenšej absolutnej chyby.



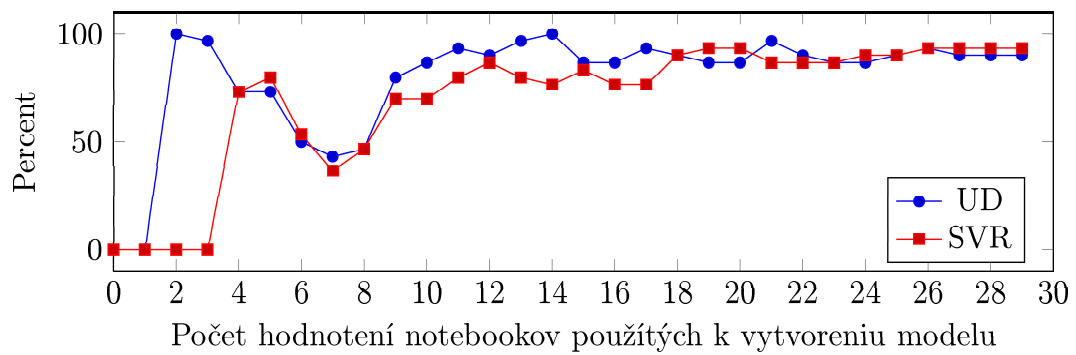
Obrázek 5.10: Užívateľ manažér hodnotený podľa najmenšej absolutnej chyby.



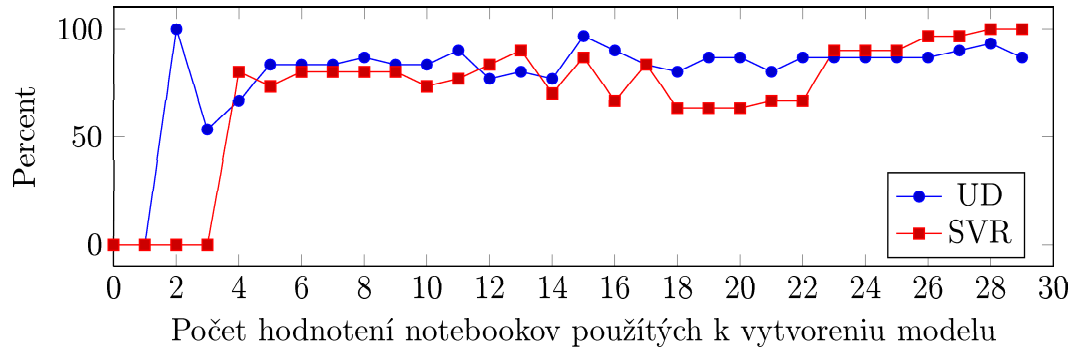
Obrázek 5.11: Užívateľ hráč hodnotený podľa najmenšej absolutnej chyby.



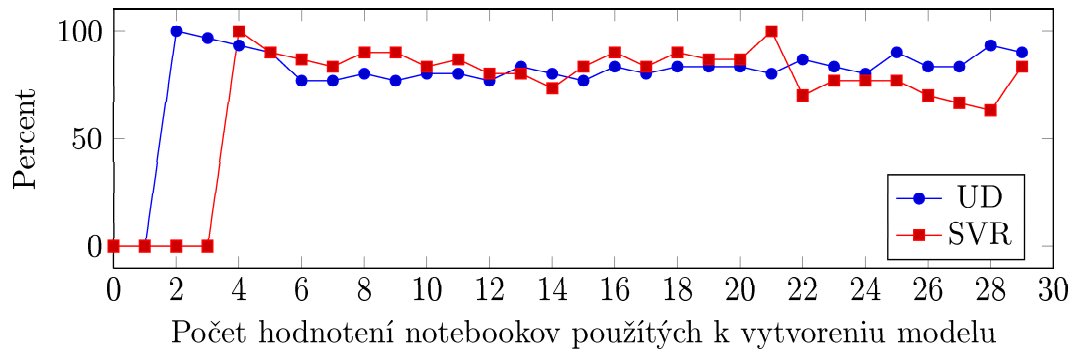
Obrázek 5.12: Kancelársky užívateľ hodnotený podľa najmenšej absolutnej chyby.



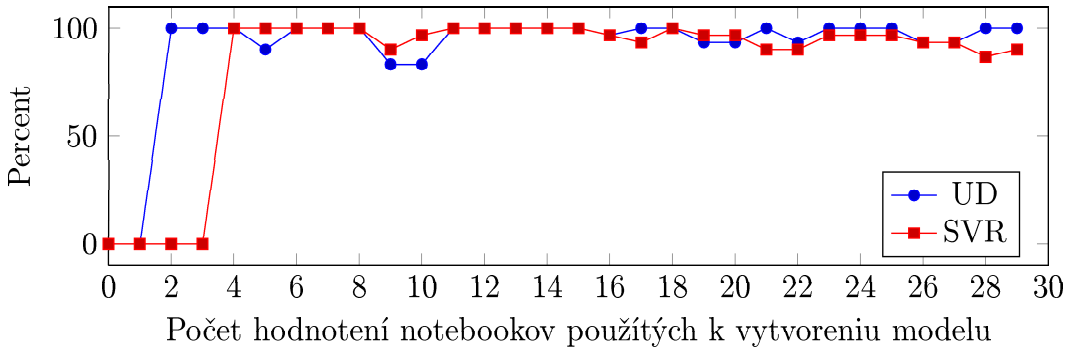
Obrázek 5.13: Desktop užívateľ hodnotenie podľa top- $k$ .



Obrázek 5.14: Užívateľ manažér hodnotený podľa top- $k$ .



Obrázek 5.15: Užívateľ hráč hodnotený podľa top- $k$ .



Obrázek 5.16: Kancelársky užívateľ hodnotený podľa top  $k$ .

Grafy obsahujúce porovnanie užívateľov podľa percentuálnej podobnosti top  $k$  objektov sú ukázané v obrázokoch, 5.13, 5.14, 5.15 a 5.16. Ako bolo spomináne porovnanie modelov na základe tejto podobnosti nie je úplne intuitívne a rozdielnosť sa liší od hodnotiaceho užívateľa užívateľa. Pri hodnotení podľa top- $k$  bolo v oboch modeloch UserDecision a SRV pozorované pomerne veľke kolísanie krivky, ktoré sa však po desiatich ohodnotených notebookoch ustálilo na rozumnej hodnote nad 80%.

Navrhnutý model rozhodovania UserDecision simulujúci rozhovanie užívateľa, sa ukázal ako dostatočne funkčný a silný nástroj pre modelovanie užívateľského rozhodovania. Výsledky experimentov ukázali, že model UserDecision dosahuje porovnatelné výsledky s modelom SRV a v niektorých prípadoch boli dosiahnuté dokonca lepšie výsledky.

### 5.3 Návrhy na rozšírenie

Navrhnutý model sa zaoberá modelovaním užívateľského rozhodovania len nad jedným užívateľom. Preto ďalším rozšírením práce by mohlo byť jeho nachádzanie podobností medzi viacerými užívateľmi a následne aplikovanie vypozorovaných súvislostí k určovaniu preferencií.

Pri vytváraní podobných skupín užívateľov je možné sledovať podobnosť tok  $k$  objektov. Kedže sa ukázalo, že po ohodnotení 10 až 20 objektov sa percentuálna podobnosť

$\text{top-}k$  30 objektov pohybuje na hranici 90%.

Ďalšou z možností je testovanie modelu UserDecision na jednej strane nad neúplnými dátami, kde niektoré z informácií o notebookoch nie sú známe. Na druhej strane je možné testovať výsledky pri predefinovaní preferencií určitého atribútu. Inak model vo svojej začiatocnej fáze dostane celkové preferencie o určitom atribúte a v ďalších výpočtoch bude tieto preferencie brať v úvahu.

# Kapitola 6

## Záver

Jedným z cieľov práce bol teoretický rozbor tematiky užívateľského rozhodovania a modelov užívateľských preferencií. Tažiskom práce bolo navrhnuť vlastný funkčný model rozhodovania a následne vykonať jeho experimentálne overenie. Práca je rozdelená na viaceré časti. V teoretickej časti práce boli rozobrané a predstavené rôzne pohľady na užívateľské preferencie obecne. Ďalej nasleduje časť obsahujúca prehľad jednotlivých modelov užívateľských preferencií a prehľad ich porovnaní.

Navrhnutý model rozhodovania simulujúci rozhovanie užívateľa je založený na pravdepodobnosti nad preferenciami. Ako model užívateľských preferencií bol zobrazený viac-hodnotový model užívateľských preferencií. Tento model sa ukázal ako dostačne funkčný nástroj pre reprezentáciu užívateľského rozhodovania.

V experimentálnej časti boli popísané vykonané testy spolu s popisom navrhovaného modelu rozhodovania. Efektívnosť a presnosť tohto modelu bola porovnaná s modelom vychádzajúcim z teórie Support Vector Regression (SVR). Výsledky experimentov ukázali, že tieto dva modely dosahujú navzájom porovnatelné výsledky. V niektorých experimentoch boli podľa navrhovaného modelu rozhodovania dosiahnuté dokonca lepšie výsledky. Je teda možné konštatovať, že hlavný prínos tejto práce spočíva v tom, že navrhnutý model je plnohodnotným naštrojom na modelovanie užívateľského rozhodovania.

Ďalším prínosom tejto práce je zostavenie širokého prehľadu v pomerne mladej oblasti

informatiky, ktorý doteraz ešte neboli komplekne zostavený. Práca obsahuje taktiež prehľad širokého okruhu nástrojov, používaných v oblasti modelovania užívateľských preferencií a užívateľského rozhodovania. Práca preto môže poslúžiť ako študijný materiál pre problematiku modelovania užívateľských preferencií. Aplikácia ktorá vnikla v priebehu tejto diplomovej práce je plne funkčná a môže byť použitá k ďalšiemu testovaniu.

Motiváciou pre ďalšiu prácu môže byť návrh univerzálnejšieho modelu analyzujúceho viacerých užívateľov súčasne. Ďalšou motiváciou pre budúci výskum môže byť otestovanie navrhnutého modelu nad rôznymi ďalšími sadami dát a taktiež nad inými skytými užívateľmi.

# Literatura

- [1] Apolloni B., Zamponi G., and Zanaboni A. M. (1998): *Learning fuzzy decision trees*. Neural Networks, 11(5):885–895.
- [2] Cao-Van K. (2003): *Supervised Ranking, from semantics to algorithms*. Ph.D. dissertation, Ghent University.
- [3] Cohen, J. (1969). *Statistical Power Analysis for the Behavioral Sciences.*, 1st Edition, Lawrence Erlbaum Associates, Hillsdale (2nd Edition, 1988).
- [4] Cussens J. (1999): *Loglinear models for rst-order probabilistic reasoning*. Proceedings of the Fifteenth Conference on Uncertainty in Artificial Intelligence
- [5] Domingos P. and Richardson M. (2006): Markov logic networks. Machine Learning 62, 107-136.
- [6] Domingos P. and Richardson M. (2007): *Markov Logic: A Unifying Framework for Statistical Relational Learning*. Introduction to Statistical Relational Learning 339-371.
- [7] Friedman N., Getoor L., Koller D. and Pfeffer A. (2001): *Learning probabilistic relational models*. Relational Data Mining
- [8] Friedman N., Getoor L., Koller D. and Pfeffer A. (1999): *Learning probabilistic relational models*. Proceedings of the Sixteenth International Joint Conference on Artificial Intelligence, 1300-1307.

- [9] Getoor L., Koller D., Taskar B. and Friedman N. (2001): *Learning Probabilistic Models of Relational Structure*. Proceedings of the Eighteenth International Conference on Machine Learning, 170-177.
- [10] Getoor L., Koller D., Taskar B. and Friedman N. (2000): *Learning probabilistic relational models with structural uncertainty*. Proceedings of the AAAI-2000 Workshop on Learning Statistical Models from Relational Data, 13-20.
- [11] Hall M., Frank E., Holmes G., Pfahringer B., Reutemann P., Witten I. H. (2009): *The WEKA Data Mining Software: An Update*; SIGKDD Explorations, Volume 11, Issue 1.
- [12] Heckerman D., Chickering D. M., Meek C., Rounthwaite R. and Kadie C. (2000): *Dependency networks for inference, collaborative filtering*. Journal of Machine Learning Research, and datavisualization, 49-75.
- [13] Heckerman D., Meek C. and Koller D. (2004): *Probabilistic entity-relationship models, PRMs, and plate models*. Proceedings of the ICML-2004 Workshop on Statistical Relational Learning and its Connections to Other Fields, 55-60.
- [14] Horváth T. and Vojtáš P. (2004): *GAP - Rule Discovery for Graded Classification*. Workshop of Advances in Inductive Rule Learning, 46-63.
- [15] Kendall M. G. (1948) *Rank Correlation Methods*. Charles Griffin & Company Limited.
- [16] Kersting K. and De Raedt L. (2001): *Bayesian Logic Programs*. Technical Report 52.
- [17] Kersting K. and De Raedt L. (2001): *Adaptive Bayesian Logic Programs*. Proceedings of the Eleventh Conference on Inductive Logic Programming 2157, 104 – 117.
- [18] Kersting K. and De Raedt L. (2001): *Towards combining inductive logic programming with Bayesian networks*. Proceedings of the Eleventh International Conference on Inductive Logic Programming, 118-131.

- [19] Kifer M. and Subrahmanian V. S. (1992): *Theory of generalized annotated logic programming and its applications*. Logic Programming, 12, 335-367.
- [20] Kim Cao-Van. *Supervised Ranking, from semantics to algorithms*. Ph.D. dissertation, Ghent University, 2003
- [21] Krajčí S., Lencses R. and Vojtáš P. (2004): *A comparison of fuzzy and annotated logic programming*. Fuzzy sets and systems 144, 173–192.
- [22] Muggleton S. and Raedt L. D. (1994): *Inductive logic programming: Theory and methods*. Journal of Logic Programming, 19/20:629–679.
- [23] Muggleton S. (1996): *Stochastic logic programs*. Advances in inductive logic programming, 254–264. Intelligence, 126–133.
- [24] Neville J. and Jensen D. (2003): *Collective classification with relational dependency networks*. Proceedings of the Second International Workshop on Multi-Relational Data Mining, 77–91.
- [25] Ng R. and Subrahmanian V.S. (1992): *Probabilistic Logic Programming*. Information and Computation 101, 2, 150–201.
- [26] Ngo L. and Haddawy P. (1997): *Answering queries from context-sensitive probabilistic knowledge bases*. Theoretical Computer Science 171, 147–177.
- [27] Ozturké M., Tsoukias A., and Vincke P. (2006): *Preference modelling. Multiple Criteria Decision Analysis: State of the Art Surveys*. Springer New York.
- [28] Poole D. (2003): *First-order probabilistic inference*. Proceedings of the Eighteenth International Joint Conference on Artificial Intelligence, 985–991.
- [29] Poole D. (1993): *Probabilistic Horn abduction and Bayesian networks*. Artificial Intelligence, 81–129.
- [30] Puech A. and Muggleton S. H. (2003): *A comparison of stochastic logic programs and Bayesian logic programs*. Workshop on Learning Statistical Models from Relational Data

- [31] Ondreicka, M., Pokorný J. (2008): *Extending Fagin's algorithm for more users based on multidimensional B-tree*. In: Proc. of ADBIS 2008, P. Atzeni, A. Caplinskas, and H. Jaakkola (Eds.), LNCS 5207, Springer-Verlag Berlin Heidelberg, pp. 199–214.
- [32] Ondreicka, M., Pokorný J. (2010): *Efficient Top-K Problem Solvings for More Users in Tree-Oriented Data Structures*. SITIS 2009, Proc. of the 5th International Conference on Signal-Image Technology and Internet-Based Systems, Marrakech, Morocco, November 29 – December 3, 2009. IEEE Computer Society Press.
- [33] Quinlan J. R. (1986): *Induction of decision trees*. Mach. Learn., 1(1):81–106.
- [34] Rafee Ebrahim (2001): *Fuzzy logic programming*. Fuzzy Sets and Systems 117, 215-230.
- [35] Riezler S. (1998): *Probabilistic constraint logic programming*. Doctoral dissertation
- [36] Sato T. and Kameya Y. (1997): *PRISM: A symbolic-statistical modeling language*. Proceedings of the Fifteenth International Joint Conference on Artificial Intelligence, 1330-1335.
- [37] Sato T. and Kameya Y. (2008): *New advances in logic-based probabilistic modeling by PRISM*. Probabilistic Inductive Logic Programming, 118-155.
- [38] Shevade S.K., Keerthi S.S., Bhattacharyya C., Murthy K.R.K. *Improvements to SMO Algorithm for SVM Regression*. Technical Report CD-99-16, Control Division Dept of Mechanical and Production Engineering, National University of Singapore.
- [39] Smola A. J., Scholkopf B. (1998): *A Tutorial on Support Vector Regression*. NeuroCOLT2 Technical Report Series - NC2-TR-1998-030

- [40] Sung Young Jung, Jeong-Hee Hong and Taek-Soo Kim (2005): *A statistical model for user preference*. Knowledge and Data Engineering, IEEE Transactions on 17, 6, 834-843.
- [41] Taskar B., Abbeel P. and Koller, D. (2002): *Discriminative probabilistic models for relational data*. Proceedings of the Eighteenth Conference on Uncertainty in Artificial Intelligence, 485-492.
- [42] Taskar B., Abbeel P., Wong M.-F. and Koller D. (2007): *Relational Markov Networks*. Introduction to Statistical Relational Learning, 176-199.
- [43] Vojtáš P. (2001): *Fuzzy logic programming*. Fuzzy Sets and Systems 124, 3, 361-370.
- [44] Vojtáš P. and Vomlelová M. (2006): *On models of comparison of multiple monotone classifications*. Proc. IPMU 2006, 1236-1243.
- [45] Wellman M., Breese J. S. and Goldman R. P. (1992): *From knowledge bases to decision models*. Knowledge Engineering Review, 7.
- [46] Zadeh L.A. (1975): *The concept of a linguistic variable and its application to approximate reasoning*. Information Sciences 1, 119–249.
- [47] Zadeh L.A. (1965): *Fuzzy sets*. Information Control 8, 338-353.
- [48] <http://www.cs.waikato.ac.nz/ml/weka/>
- [49] <http://www.mironet.cz/>

# Příloha A

## Obsah CD

Priložený CD disk obsahuje všetky súbory potrebné k spusteniu programu UserDecision. CD ďalej obsahuje všetko potrebné na zopakovanie testov, všetky zdrojové kódy, testovacie dátá a text diplomovej práce vo formáte pdf.

- \text – text diplomovej práce vo formáte pdf
- \run – spustiteľná verzia programu
  - userdecision.bat spustiteľný súbor k spusteniu aplikácie UserDecision
  - settings.properties konfiguračný súbor
- \userdecision\bin – preložené zdrojové kódy
- \userdecision\lib – použité externé knižnice
- \userdecision\doc – vygenerovaná dokumentácia Javadoc
- \userdecision\src – zdrojové kódy aplikácie
- \data – testovacie dátá vo formáte sql určené ako import do databázy
- \instal\JRE – inštalačné súbory pre JRE - Java Runtime Environment
- \instal\MySQL – inštalačné súbory pre MySQL server.
- \instal\PostgreSQL – inštalačné súbory pre PostgreSQL server.

## Příloha B

# Užívateľská dokumentácia k programu

Jedným z cieľov práce bolo experimentálne porovnať navrhnutý model rozhodovania s modelom založeným na teórii Suppor Vector Reggresion. K tomu bol vytvorený program s grafickým užívateľským rozhraním. Po inštalácii, popísanej v kapitole B.1, je možné program spustiť súborom

`\run\userdecision.bat.`

Celá funkčnosť programu je predstavená v kapitole B.2.

### B.1 Inštalácia

K správnej funkčnosti programu UserDecision je potrebné nainštalovať JAVA a databázový server MySQL. Kroky išntalácie:

- 1. inštalácia JAVA
- 2. inštalácia MySQL alebo PostgreSQL
- 3. importovanie testovacích dát
- 4. nastavenie konfiguračného súboru

### **B.1.1 Java**

Prostredie JRE - Java Runtime Environment je určené k spúšťaniu JAVA programov. CD obsahuje súbor, pomocou ktorého je možné v prostredí operačného systému MS Windows XP nainštalovať JRE (prípadne ďalší priložený súbor pre PC s x64 architektúrou).

`\instal\JRE`

Pre iný operačný systém je potrebné použiť príslušný inštalačný postup na adrese <http://java.sun.com/javase/>.

### **B.1.2 MySQL a PostgreSQL**

K testovaniu programu je potrebný prístup k databáze MySQL alebo PostgreSQL. V prípade, že používateľ nemá prístup k databáze, je potrebné nainštalovať databázový server na použitom PC. Priložené CD obsahuje inštalačný súbor, pomocou ktorého je možné v prostredí operačného systému MS Windows nainštalovať databázový server MySQL (CD obsahuje aj súbor pre PC s x64 architektúrou).

`\instal\MySQL`

Počas inštalácie je vhodné zadať "Standard Configuration" a neupravovať bezpečnostné nastavenia "Modify Security Settings" (štandardne je prístupové meno "root" a heslo prázdne slovo). V prípade iného operačného systému je potrebné použiť príslušný inštalačný postup, ktorý je možné nájsť na adrese <http://www.mysql.com/>. CD obsahuje inštalačný súbor aj pre databázový server PostgreSQL.

`\instal\PostgreSQL`

### **B.1.3 Testovacie dátá**

Po nainštalovaní serveru MySQL je nutné vytvoriť testovacie dátá. Testovacie dátá tvoria jednu prednastavenú databázu "dipl". Priložené CD obsahuje súbory s testovacími dátami, ktoré je potrebné importovať do vytvorenej databázy. Nasledujúce poradie súborov (a umiestnenie na CD) je pri importovaní do databázy nutné zachovať.

```
\data\create-table-notebook.sql  
\data\insert-notebook-mironet.sql  
\data\create-view-rating-desktop.sql  
\data\create-view-rating-gamer.sql  
\data\create-view-rating-manager.sql  
\data\create-view-rating-office.sql
```

#### B.1.4 Konfiguračný súbor

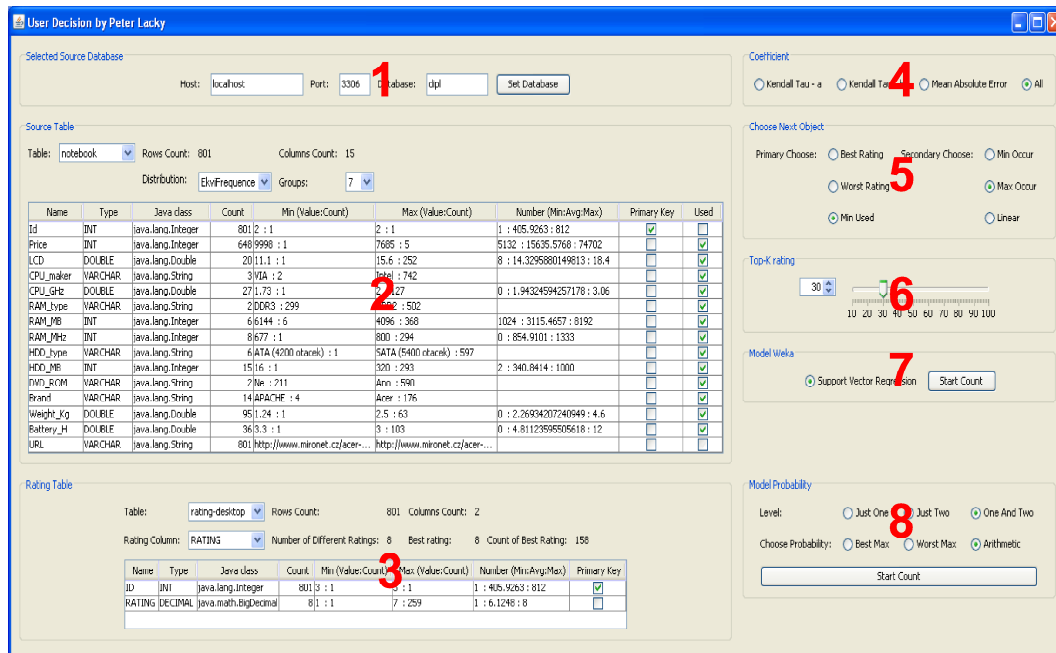
Súbor `\run\settings.properties` obsahuje defaultné nastavenia programu a tak tiež rozširuje možnosti v samotnom programe. Obsahom súboru sú premenné

- **DBType** určuje typ databázy. Povolené sú nastavenia MySQL (prednastavené) a PostgreSQL
- **DBHost** (text) adresa databázového serveru (prednastavené: localhost)
- **DBPort** (číslo) číslo portu k prístupu k databáze (prednastavené: 3306)
- **DBName** (text) názov databázy (prednastavené: dipl)
- **DBUser** (text) login do databáze (prednastavené: root)
- **DBPass** (text) heslo do databáze (prednastavené: prázdna hodnota)
- **DistributionGroupMax** (číslo) maximálny počet povolených skupín pri diskretilizácii spojitých atribútov
- **DistributionGroupSet** (číslo) počet diskrétnych skupín atribútov nastavený pri spúšťaní programu (prednastavené: 7)
- **TopKMin** (číslo) minimálny počet nastaviteľných top- $k$  porovnávaných hodnôt (prednastavené: 10)
- **TopKMax** (číslo) maximálny počet nastaviteľných top- $k$  porovnávaných hodnôt (prednastavené: 100)

- **TopKSet** (číslo) počet top- $k$  porovnávaných hodnôt nastavený pri spúšťaní programu (prednastavené: 30)
- **DifferentRating** (číslo) maximálny počet rozdielnych hodnotení skrytým užívateľom počet (prednastavené: 10)
- **IterationStep** (číslo) počet krokov výpočtu, inak počet ohodnotených objektov k ukončeniu výpočtu (prednastavené: 100)

## B.2 Grafické užívateľské rozhranie

Po spustení programu sa zobrazí užívateľské rozhranie (obrázok B.1). Toho rozhranie obsahuje všetky potrebné nastavenia k spusteniu výpočtu. Jednotlivé časti a ich funkčnosť je rozobraná v nasledujúcich podkapitolách.



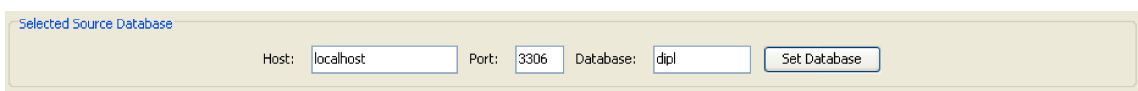
Obrázek B.1: Hlavný program.

Časť 1 obsahuje nastavenie zdroja dát (vid. kapitola B.2.1). Časti 2 a 3 obsahujú informácie o zdrojových dátach vo zvolenej databáze (vid. kapitola B.2.2). V častiach 4, 5 a 6 sú globálne nastavenia pre všetky modely (vid. kapitola B.2.3) a v častiach

7 a 8 sú nastavenia samotných modelov spolu s možnosťou spustenia výpočtu (viď. kapitola B.2.4).

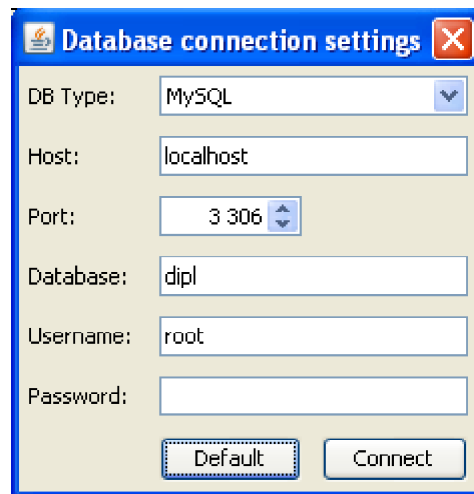
### B.2.1 Nastavenie zdroja dát

V hlavnom okne programu časti 1 (obrázok B.2) je zobrazené aktuálne nastavenie databázového pripojenia a to Host, Port a názov databáze. K zmene nastavenia slúži tlačítko **Set Database**. Po jeho stlačení sa zobrazí okno (obrázok B.3), ktoré zmenu nastavenia umožňuje.



Obrázek B.2: Hlavný program - Nastavená databáza.

Tlačítko **Connect** v okne pripojenia (obrázok B.3) slúži k pripojeniu podľa nastavených položiek. Tlačítko **Default** nastaví jednotlivé položky podľa konfiguračného súboru `settings.properties` (viď. kapitola B.1.4).



Obrázek B.3: Nastavenie zdroja dát.

### B.2.2 Zdrojové dáta

Časť 2 hlavného programu (obrázok B.4) obahuje údaje o testovacích dátach. Volba *Table* nastavuje tabuľku obsahujúcu testovacie dáta. Ďalším nastavením, obsiahnu-

tým v tejto časti, je *Distribution*, ktoré udáva typ rozdelenia spojitéh atrribútov na diskrétny (ekvifrekvenčný alebo ekvidistančný typ rozdelenia). Počet novoznánutých atrribútov po rozdelení spojitého atrribútu sa nastavuje pomocou *Groups*. Rozdelenie spojitéh atrribútov je podrobne ukázané v kapitole 2.3.

Source Table								
Table:		notebook	Rows Count:	801	Columns Count:	15		
Distribution:		Ekvifrequence	Groups:	7				
Name	Type	Java class	Count	Min (Value:Count)	Max (Value:Count)	Number (Min:Avg:Max)	Primary Key	Used
ID	INT	java.lang.Integer	801	2 : 1	2 : 1	1 : 405.9263 : 812	<input checked="" type="checkbox"/>	<input type="checkbox"/>
Price	INT	java.lang.Integer	648	9998 : 1	7685 : 5	5132 : 15635.5768 : 74702	<input type="checkbox"/>	<input checked="" type="checkbox"/>
LCD	DOUBLE	java.lang.Double	20	11.1 : 1	15.6 : 252	8 : 14.3295880149813 : 18.4	<input type="checkbox"/>	<input checked="" type="checkbox"/>
CPU_maker	VARCHAR	java.lang.String	3	VIA : 2	Intel : 742		<input type="checkbox"/>	<input checked="" type="checkbox"/>
CPU_GHz	DOUBLE	java.lang.Double	27	1.73 : 1	2 : 127	0 : 1.94324594257176 : 3.06	<input type="checkbox"/>	<input checked="" type="checkbox"/>
RAM_type	VARCHAR	java.lang.String	2	DDR3 : 299	DDR2 : 502		<input type="checkbox"/>	<input checked="" type="checkbox"/>
RAM_MB	INT	java.lang.Integer	6	144 : 6	4096 : 368	1024 : 3115.4657 : 8192	<input type="checkbox"/>	<input checked="" type="checkbox"/>
RAM_MHz	INT	java.lang.Integer	8	677 : 1	800 : 294	0 : 854.9101 : 1333	<input type="checkbox"/>	<input checked="" type="checkbox"/>
HDD_type	VARCHAR	java.lang.String	6	ATA (4200 otacek) : 1	SATA (5400 otacek) : 597		<input type="checkbox"/>	<input checked="" type="checkbox"/>
HDD_MB	INT	java.lang.Integer	15	16 : 1	320 : 293	2 : 340.8414 : 1000	<input type="checkbox"/>	<input checked="" type="checkbox"/>
DVD_ROM	VARCHAR	java.lang.String	2	Ne : 211	Ano : 590		<input type="checkbox"/>	<input checked="" type="checkbox"/>
Brand	VARCHAR	java.lang.String	14	APACIE : 4	Acer : 176		<input type="checkbox"/>	<input checked="" type="checkbox"/>
Weight_Kg	DOUBLE	java.lang.Double	95	1.24 : 1	2.5 : 63	0 : 2.26934207240949 : 4.6	<input type="checkbox"/>	<input checked="" type="checkbox"/>
Battery_H	DOUBLE	java.lang.Double	36	3.3 : 1	3 : 103	0 : 4.81123595505618 : 12	<input type="checkbox"/>	<input checked="" type="checkbox"/>
URL	VARCHAR	java.lang.String	801	http://www.mironet.cz/acer-...	http://www.mironet.cz/acer-...		<input type="checkbox"/>	<input type="checkbox"/>

Obrázek B.4: Hlavný program - Testovacie dátá.

Časť 3 hlavného programu (obrázok B.5) nastavuje skrytého užívateľa, ktorý má byť použitý k testovaniu. Výber tabuľky obsahujúcej hodnotenia všetkých objektov sa prevádzza pomocou voľby *Table*. *Rating Column* určuje atrribút, v ktorom sú obsiahnuté jednotlivé hodnotenia.

Rating Table								
Table:		rating-desktop	Rows Count:	801	Columns Count:	2		
Rating Column:		RATING	Number of Different Ratings:	8	Best rating:	6	Count of Best Rating:	156
Name	Type	Java class	Count	Min (Value:Count)	Max (Value:Count)	Number (Min:Avg:Max)	Primary Key	
ID	INT	java.lang.Integer	801	3 : 1	3 : 1	1 : 405.9263 : 812	<input checked="" type="checkbox"/>	
RATING	DECIMAL	java.math.BigDecimal	8	1 : 1	7 : 259	1 : 6.1248 : 8	<input type="checkbox"/>	

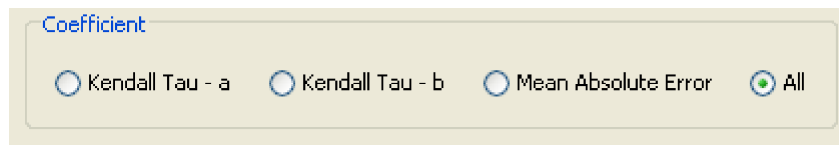
Obrázek B.5: Hlavný program - Skrytý užívateľ.

Zobrazované tabuľky v oboch častiach (2 aj 3) reprezentujú jednotlivé atrribúty a ich vlastnosti. V rade za sebou sú to *Name* (názov atrribútu), *Type* (typ v databáze), *Java class* (trieda v JAVA), *Count* (počet rozdielnych hodnôt atrribútu), *Min (Value:Count)* (hodnota a počet najmenej sa vyskytujúceho atrribútu), *Max (Value:Count)* (hodnota a počet najviac sa vyskytujúceho atrribútu) a posledný informatívny *Number (Min:Avg:Max)* (najmenšia, priemerná a maximálna hodnota

číselného atribútu). Hodnota *Primary Key* je zaškrtnutá ak atribút je primárnym kľúčom. Tabuľka časti 2 naviac zahŕňa nastaviteľný stĺpec (posledný) *Used*. Pri jeho zaškrtnutí sa daný atribút bude brať do úvahy pri výpočte modela.

### B.2.3 Globálne nastavenia

Časť 4 hlavného okna (obrázok B.6) obsahuje možnosti nastavenia podľa akého koeficientu majú byť hodnotené výsledky. Podrobne sa jednotlivým možnostiam venuje kapitola 4.4.



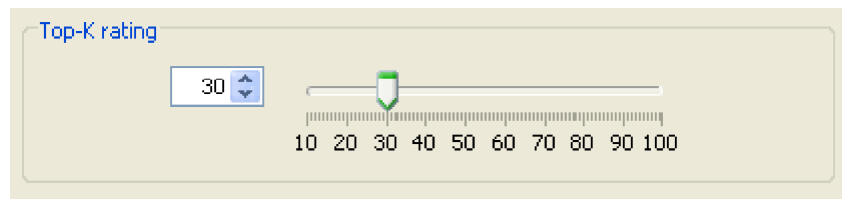
Obrázek B.6: Hlavný program - Koeficient.

Časť 5 hlavného okna (obrázok B.7) nastavuje možnosti výberu objektu určeného k ohodnoteniu. Tento objekt sa vyberá v každom kroku výpočtu. Jednotlivé možnosti sú rozobrané v kapitole 4.5.



Obrázek B.7: Hlavný program - Výber objektu.

Nastavenie počtu top- $k$  porovnávaných objektov je obsiahnuté v časti 6 (obrázok B.8). Zmenu rozpätia top- $k$  možností (prednastavené od 10 do 100) je možné urobiť pomocou konfiguračného súboru (viď. kapitola B.1.4). Použitiu a významu hodnoty top  $k$  sa venuje kapitola 4.4.



Obrázek B.8: Hlavný program - Top-k.

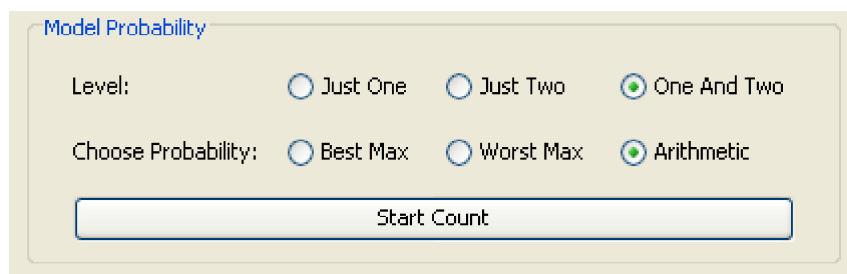
#### B.2.4 Modely rozhodovania

K spusteniu výpočtu slúži tlačítko **Start Count**, ktoré je obsiahnuté pri oboch testovaných modeloch. Možnosť výpočtu podľa modelu založeného na Support Vector Regression (vid. kapitola 2.5.4) je umožnená v časti 7 hlavného okna (obrázok B.9).



Obrázek B.9: Hlavný program - Weka.

Časť 8 hlavného okna (obrázok B.10) obsahuje možnosť výpočtu navrhnutého modelu. *Level* reprezentuje použitú úroveň tabuľiek a nastavenie *Choose Probability* určuje spôsob výpočtu, respektívne výberu pravdepodobnosti. Jednotlivé funkčnosti sú blišie rozobrané v kapitole 4.6.

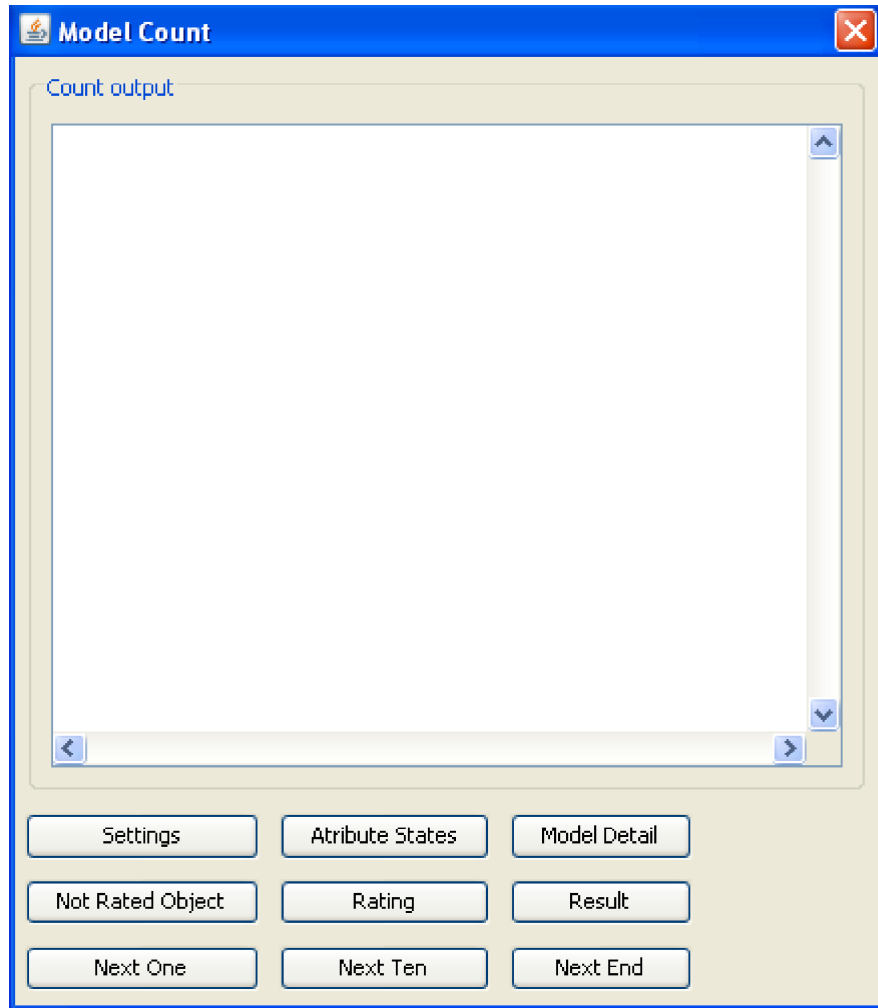


Obrázek B.10: Hlavný program - Model.

#### B.2.5 Zobrazovanie výsledkov

Tlačítkom **Start Count** sa zobrazí okno (obrázok B.11) určené k práci výpočtu modelu. Jednotlivé tlačítka v dolnej časti okna (obrázok B.11) umožňujú kontrolu

nad celým výpočtom.



Obrázek B.11: Zobrazovanie výsledkov.

**Settings** tlačidlo zobrazuje nastavenia z hlavného okna.

**Attribute States** tlačidlo pre každý použitý atribút zobrazí jeho vlastnosti. Pre spojité atribútové zobrazuje intervale vlastností po rozdelení.

**Model Detail** tlačidlo vypíše detail modelu v aktuálnom kroku výpočtu.

**Not Rated Object** tlačidlo zobrazí všetky ešte neohodnotené objekty (objekty, ktorých hodnotenie ešte nebolo použité k tvorbe modelu).

**Rating** tlačidlo vypíše *ID* objektu a spolu s ohodnotením skrytého užívateľa a generovaným ohodnotením. Generované ohodnenie vychadza z aktuálneho kroku výpočtu.

**Result** tlačidlo zobrazí zvolené hodnotenie výsledkov v danom kroku výpočtu.

**Next One** tlačidlo prevedie jeden krok výpočtu a objekt, spolu s ohodnotením a krokom výpočtu, pridá do výstupu.

**Next Ten** tlačidlo prevedie desať krovov výpočtu a objekty, spolu s ohodnotením a krokom výpočtu, pridá do výstupu.

**Next End** tlačidlo prevedie kroky výpočtu až do konečného počtu krovov a objekty, spolu s ohodnotením a krokmi, pridá do výstupu.

Pri zobrazovaní krovov výpočtu sa zobrazujú všetky doposiaľ ohodnotené objekty. Konečný počet krovov je daný konfiguračným súborom `settings.properties` (viď kapitola B.1.4).